

2012 年秋季年会

# 年会プログラム

於 大分大学（旦野原キャンパス）

2012 年 9 月 19 日（水）～ 9 月 21 日（金）

日本天文学会

# 日本天文学会 2012 年秋季年会プログラム

期 日 2012年9月19日(水)～9月21日(金)

場 所 大分大学旦野原キャンパス(大分県大分市)

電 話 090-4387-6893 <使用期間 2012年9月18日(火)～9月22日(土)>

日 程

| 月日           | 会場 | 9               | 10   | 11              | 12             | 13                   | 14          | 15         | 16                     | 17 | 18 | 19 |            |
|--------------|----|-----------------|------|-----------------|----------------|----------------------|-------------|------------|------------------------|----|----|----|------------|
| 9月19日<br>(水) | A  | 受付              |      | B. 多波長偏光        | 昼 休 み<br>(理事会) | ポスター                 |             | B. 多波長偏光   | 天文教育<br>フォーラム<br>(B会場) |    |    |    |            |
|              | B  |                 |      | N. 恒 星          |                |                      |             | N. 恒 星     |                        |    |    |    |            |
|              | C  |                 |      | L. 太 陽 系        |                |                      |             | U. 宇 宙 論   |                        |    |    |    |            |
|              | D  |                 |      | K. 超新星爆発        |                |                      |             | K. 超新星爆発   |                        |    |    |    |            |
|              | E  |                 |      | V2. 地 上 観       |                |                      |             | V2. 地 上 観  |                        |    |    |    |            |
|              | F  |                 |      | R. 銀 河          |                |                      |             | R. 銀 河     |                        |    |    |    |            |
|              | G  |                 |      | W. 飛 翔 観        |                |                      |             | W. 飛 翔 観   |                        |    |    |    |            |
|              | H  |                 |      | P1. 星・惑 星       |                |                      |             | P1. 星・惑 星  |                        |    |    |    |            |
|              | I  |                 |      | S. 銀 河 核        |                |                      |             | S. 銀 河 核   |                        |    |    |    |            |
|              | J  |                 |      | J. 高 密 度 星      |                |                      |             | J. 高 密 度 星 |                        |    |    |    |            |
| 9月20日<br>(木) | A  | A. 時間領域天文       | ポスター | 昼 休 み<br>(評議員会) | A. 時間領域天文      | 総会<br>出席者<br>確認      | 総会<br>(B会場) | 懇親会        |                        |    |    |    |            |
|              | B  | Q. 星 間 現 象      |      |                 |                |                      |             |            |                        |    |    |    | Q. 星 間 現 象 |
|              | C  | U. 宇 宙 論        |      |                 |                |                      |             |            |                        |    |    |    | X. 銀 河 形 成 |
|              | D  | M. 太 陽          |      |                 |                |                      |             |            |                        |    |    |    | M. 太 陽     |
|              | E  | V2. 地 上 観       |      |                 |                |                      |             |            |                        |    |    |    | Y. 教 育・他   |
|              | F  | V1. 地 上 観       |      |                 |                |                      |             |            |                        |    |    |    | V1. 地 上 観  |
|              | G  | W. 飛 翔 観        |      |                 |                |                      |             |            |                        |    |    |    | W. 飛 翔 観   |
|              | H  | P1. 星・惑 星       |      |                 |                |                      |             |            |                        |    |    |    | P1. 星・惑 星  |
|              | I  | S. 銀 河 核        |      |                 |                |                      |             |            |                        |    |    |    | P2. 星・惑 星  |
|              | J  | J. 高 密 度 星      |      |                 |                |                      |             |            |                        |    |    |    | J. 高 密 度 星 |
| 9月21日<br>(金) | A  | A. 時間領域天文       | ポスター | 昼 休 み           | A. 時間領域天文      | 特別<br>セッション<br>(B会場) |             |            |                        |    |    |    |            |
|              | B  | Q. 星 間 現 象      |      |                 |                |                      |             |            |                        |    |    |    | Q. 星 間 現 象 |
|              | C  | X. 銀 河 形 成      |      |                 |                |                      |             |            |                        |    |    |    | X. 銀 河 形 成 |
|              | D  | M. 太 陽          |      |                 |                |                      |             |            |                        |    |    |    | M. 太 陽     |
|              | E  | Y. 教 育・他        |      |                 |                |                      |             |            |                        |    |    |    | Y. 教 育・他   |
|              | F  | V1. 地 上 観       |      |                 |                |                      |             |            |                        |    |    |    | V1. 地 上 観  |
|              | G  | W. 飛翔観 / T. 銀河団 |      |                 |                |                      |             |            |                        |    |    |    | T. 銀 河 団   |
|              | H  | P1. 星・惑 星       |      |                 |                |                      |             |            |                        |    |    |    |            |
|              | I  | P2. 星・惑 星       |      |                 |                |                      |             |            |                        |    |    |    | P2. 星・惑 星  |
|              | J  | J. 高 密 度 星      |      |                 |                |                      |             |            |                        |    |    |    |            |

A会場：教養教育棟 1F (第一大講義室)

B会場：教養教育棟 1F (第二大講義室)

C会場：教養教育棟 1F (12号教室)

D会場：教養教育棟 1F (14号教室)

E会場：教養教育棟 2F (21号教室)

F会場：教養教育棟 2F (22号教室)

G会場：教養教育棟 2F (24号教室)

H会場：教養教育棟 3F (32号教室)

I会場：教養教育棟 3F (35号教室)

J会場：教養教育棟 4F (42号教室)

受 付：教養教育棟 1F (13号教室)

ポスター会場：教育福祉科学部棟 2F～3F

展示コーナー：ポスター会場 1

会 議 室 1：教養教育棟 2F

会 議 室 2：教養教育棟 2F

総 会 会 場：B会場

談 話 室：教養教育棟 2F

懇 親 会：大学生協

## ◎講演数

講演数：合計 709

(口頭講演 (a)：464、ポスター講演 (b)：198、ポスター講演 (c)：47)

## ◎参加登録について (参加者は、当日必ず参加登録をしてください。)

2011年秋季年会より、講演登録費は、講演申込時にお支払いいただく事になりました。

## ○参加費用

|                    | 会 員             | 非会員                        |
|--------------------|-----------------|----------------------------|
| 参 加 費              | 3,000 円 (不課税)   | 5,000 円 (消費税込み)            |
| (但し講演ありの場合、参加費は無料) |                 |                            |
| 講 演 登 録 費          | 3,000 円 (不課税)   | 10,000 円 (消費税込み) (1 講演につき) |
| 年 会 予 稿 集          | 2,000 円 (消費税込み) | 2,000 円 (消費税込み) (購入希望者のみ)  |

○参加登録受付場所：受付 (教養教育棟 1F)

○参加登録受付時間：9月19日 10:00～16:00

9月20日 09:00～16:00

9月21日 09:00～14:00

※参加費は、会期中に受付にて忘れずにご納付ください。

※参加費用支払い時に渡される領収書は、再発行はできませんので、大切に保管してください。

※講演登録者は、講演申し込み後にキャンセル等しても、講演登録費の返金はいたしません。

※懇親会に参加される方は、隣の懇親会専用の受付にて懇親会の参加費をお支払いください。

## ◎講演に関する注意

1. 口頭発表は10会場で行います。口頭講演(添字 a)は、口頭発表9分、質疑応答3分です。ポスター講演(添字 b)は、口頭発表3分、3講演で12分を割り当て、座長の判断で質疑応答を行います。

※時間厳守：講演制限時間を超過した場合は、直ちに降壇していただきますので、講演者の皆様は制限時間を厳守できるよう特に万全の準備をお願いします。

2. ポスター発表(添字 b)、(添字 c)は、9月19日の10:00から9月21日の13:30までポスター会場の指定された場所に掲示できます。終了後は速やかに撤去してください。ポスターサイズは縦180 cm×横90 cmです。
3. 講演には液晶プロジェクターをご使用ください。液晶プロジェクターは、セッション開始前にPCの接続を確認してください。講演時間は、直前の講演者が降壇した時点から計り始めます。迅速に講演が始められるよう、次の講演者は前の講演中にPCを接続しておいてください。

## ◎会期中の行事

| 月 日   | 時 間   | 会 場                   | 行 事 名                                       |
|-------|---|-----------------------|---|
| 9月19日 | 17:00～18:30                                     | B会場                   | 天文教育フォーラム                                   |
| 9月20日 | 15:30～17:00<br>(15:30～16:00 総会出席者確認、16:00 総会開始) | B会場                   | 総 会<br>○2013年度事業計画書<br>○2013年度収支予算書<br>○その他 |
|       | 17:30～  | 大学生協                  | 懇親会   |
| 9月21日 | 15:20～16:30                                     | B会場                   | SPICA 特別セッション                               |
| 9月22日 | 13:30～17:00                                     | 大分市コンパルホール<br>(文化ホール) | 公開講演会                                       |

## ◎会合一覧表

| 月 日   | 時 間         | 会 場  | 会 合 名            | 一般参加可否 |
|-------|-------------|------|------------------|--------|
| 9月19日 | 13:00～14:00 | 会議室1 | 理事会              | D      |
|       | 13:00～14:00 | F会場  | 女性天文学研究者の会       | A      |
| 9月20日 | 12:30～13:30 | 会議室1 | 評議員会             | D      |
|       | 12:30～13:30 | A会場  | 理論天文学宇宙物理学懇談会報告会 | A      |
|       | 12:30～13:30 | B会場  | 宇宙電波懇談会総会        | C      |
| 9月21日 | 12:30～13:30 | A会場  | 光学赤外線天文連絡会総会     | C      |
|       | 12:30～13:30 | B会場  | 天文・天体物理若手の会総会    | C      |
|       | 12:30～13:30 | C会場  | 日本SKAコンソーシアム会合   | B      |
|       | 12:30～13:30 | D会場  | 太陽研究者連絡会         | B      |

※一般参加可否の説明（オープン化の程度）

- A: 誰でも大歓迎で是非来てほしい
- B: 興味を持った人には広く門戸を開いている
- C: 関係グループ向けのものだが部外者も特に拒みはしない
- D: 関係者のみにクローズした非公開の会合

## ◎天文教育フォーラム

主催：日本天文学会、天文教育普及研究会

テーマ：広がる宇宙の空間理解への対応 ～新学習指導要領における天文分野～

日時：2012年9月19日（水）17:00～18:30

場所：B会場

概要：新学習指導要領が、理科に関してはこの4月から小学校から高等学校までで全面施行されました。

特に天文分野に関しては、義務教育段階における学習内容の拡充が行われ、天体の空間的な位置関係の理解、および太陽系外の恒星・銀河系にまで学習範囲が進展しています。

これは、2005年に日本天文学会が中央教育審議会会長および初等中等教育分科会長宛に提出した「次代になう子どもに豊かな科学的素養を」の要望書の内容に沿うものであり、2008年春の天文教育フォーラムにおける「今、求められる天文学・天文教育とは」において、実施前に課題と活動の方向性について議論しました。

一方で、現在の大学教育の現場、そして学校現場においては、これまでの教育課程を履修してきた学生・教員も多く、今回の施行にあたっては、要望書中に日本天文学会として記載した「教育現場の先生方を支援する仕組」および「今後さらに関係各方面との協力を進めてゆく」ことについても、具体性を持たせなくてはなりません。

今回の施行を踏まえ、指導における課題と今後の活動について改めて認識を深め、より実効性のある天文教育が実施できる一助となる機会を設けたいと考えております。

話題提供：・教科書執筆、監修の立場から 渡部潤一（国立天文台）  
・教員養成系の大学教員の立場から 高橋真聡（愛知教育大学）  
・日食に関する普及活動を行った立場から 大西浩次（長野高専）  
・議論

参加費：日本天文学会年会は非会員も参加できます。また、天文教育フォーラムのみの参加者は、年会参加費は不要です。年会受付時に、その旨お申し出下さい。

実行委員：柴田晋平（山形大学）、安藤享平（郡山市ふれあい科学館）、高梨直紘（東京大学）、仲野誠（大分大学）

## ◎次世代赤外線天文衛星 SPICA 特別セッション

日時：2012年9月21日（金）15:20～16:30

場所：B会場

概要：SPICA (Space Infrared Telescope for Cosmology and Astrophysics) は、(1) 銀河の誕生と進化、(2) 惑星系のレシピ、(3) 宇宙における物質の輪廻の解明を目指す、次世代赤外線天文衛星です。口径 3.2m の望遠鏡を、絶対温度で 6K まで冷却することにより、中間・遠赤外線で、今までにない圧倒的な高感度・高分解能観測を可能とします。SPICA は、日本が主導する国際共同プロジェクトで、2022 年の打ち上げを目指しています。

現在、SPICA は、観測装置の最終仕様を決定する段階にあります。具体的には、焦点面観測装置の国際レビューが現在進行中であり、最終審査結果が来年 2013 年の 2 月に発表される予定です。そこで、本特別セッションでは、ほぼ固まりつつある観測装置の仕様と狙うキー・サイエンスについて、広く天文学コミュニティの皆さんからの意見を伺いたいと思います。

プログラム：1. SPICA ミッション概要とミッション目標 中川貴雄 (ISAS/JAXA)  
2. 焦点面観測装置の策定状況と観測運用概要 松原英雄 (ISAS/JAXA)  
3. SPICA が狙うサイエンス～観測装置仕様の決定にむけて  
(1) 銀河誕生のドラマ 長尾 透 (京大白眉)  
(2) 惑星系のレシピ 高見道弘 (ASIAA)  
(3) 宇宙の物質循環 金田英宏 (名大理)

世話人：中川貴雄、松原英雄 (ISAS/JAXA)、市川隆 (東北大理)

## ◎日本天文学会公開講演会

テーマ：「天地の動きから現代の惑星像へ」  
(<http://kitchom.ed.oita-u.ac.jp/asj2012b/public.html>)

日 時：2012年9月22日(土：秋分の日) 13:30～17:00 (開場 13:00)

場 所：大分市コンパルホール(文化ホール)  
(<http://www.compalhall.jp/>)

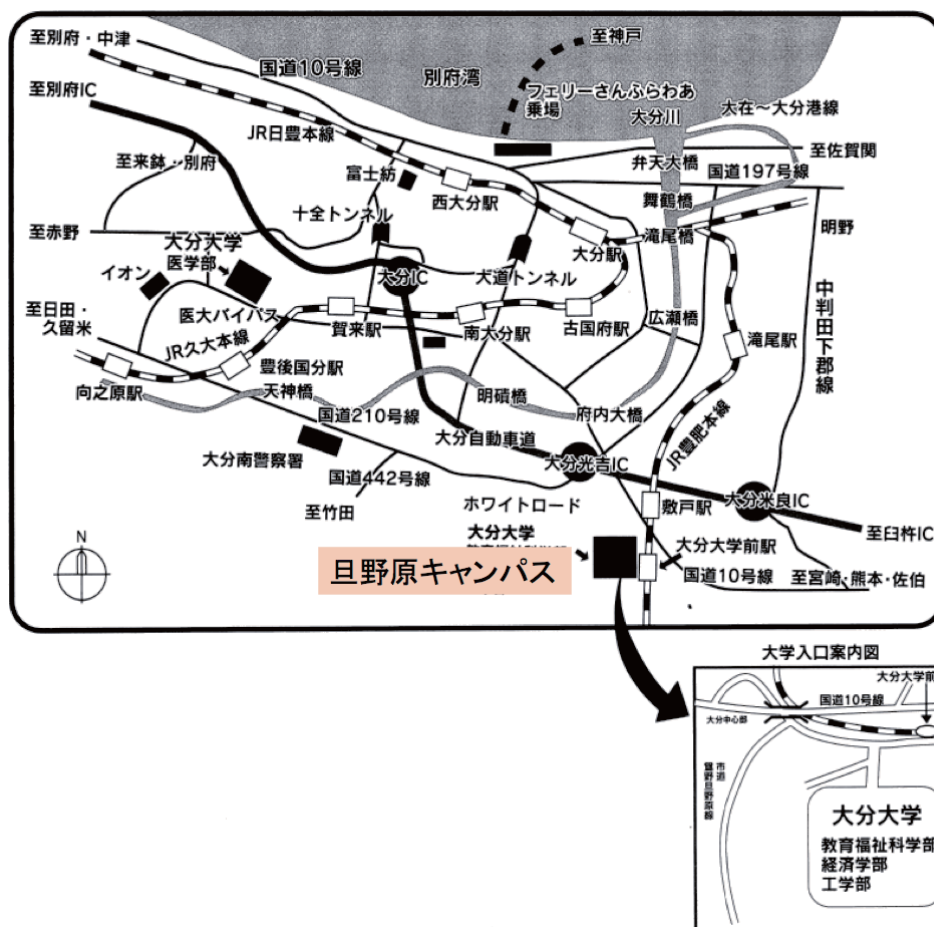
対 象：中学生以上・一般向け(小学生以下でも特に希望する人なら参加できます。)

内 容：講演1：麻田剛立と江戸の天文学 鹿毛敏夫(東京大学)  
講演2：宇宙の中の地球と太陽-太陽でスーパーフレアは起きるのか? 柴田一成(京都大学)  
講演3：第二の地球を求めて 田村元秀(国立天文台)

趣 旨：今回の講演会では江戸時代に大阪において活躍し、今も月のクレーターに名を残す豊後国杵築(大分県杵築市)出身で在野の天文学者である麻田剛立の話から始まります。その後、われわれの地球と関連させて最先端の天文学の世界へと誘いたいと思います。講演1では天体観測を継続することで、幕府天文方の暦の誤りを正し、また、優秀な天文学者を育成したその麻田剛立と江戸時代の日本の天文学の様相を紹介をしていただきます。講演2では、太陽の最新描像と太陽の地球や社会への影響を語っていただきます。太陽は我々に最も身近な恒星であり、地球上の生命には恵みの星です。しかし最近の太陽観測からはその活動の異変が目立っています。特に、その表面では爆発だらけという驚くべき正体が明らかにされています。そして最後の講演3は、地球のように生命居住可能な惑星(=ハビタブルプラネット)は、この広い宇宙にどれくらいあるのだろうかというわくわくするような話題です。次第に最先端の観測ターゲットに入りつつある第二の地球、すなわち太陽系外の地球型惑星の検出の状況を解説していただきます。将来は果たして生命の兆候を探ることも可能になるのでしょうか。

申 込： 事前の参加申し込みは不要。入場無料。当日会場にて受付してください。ただし、会場定員500名を超える場合には、入場制限をかける場合もあります。駐車場はコンパルホール駐車場(有料)がありますが、数に限りがありますので、公共交通機関の利用をおすすめします。

## 秋季年会会場 大分大学・旦野原(だんのほる)キャンパスのご案内



### 交通案内

#### ■大分まで【空路】

- 羽田空港—大分空港(1時間30分)
- 大阪空港(伊丹)—大分空港(55分)
- 名古屋(中部)—大分空港(1時間10分)
- 大分空港—大分市内:連絡バス(60分)

#### ■大分まで【鉄道】

- 小倉駅—JR日豊本線(1時間30分)—大分駅
- 別府駅—JR日豊本線(15分)—大分駅

#### ■大学まで【鉄道】

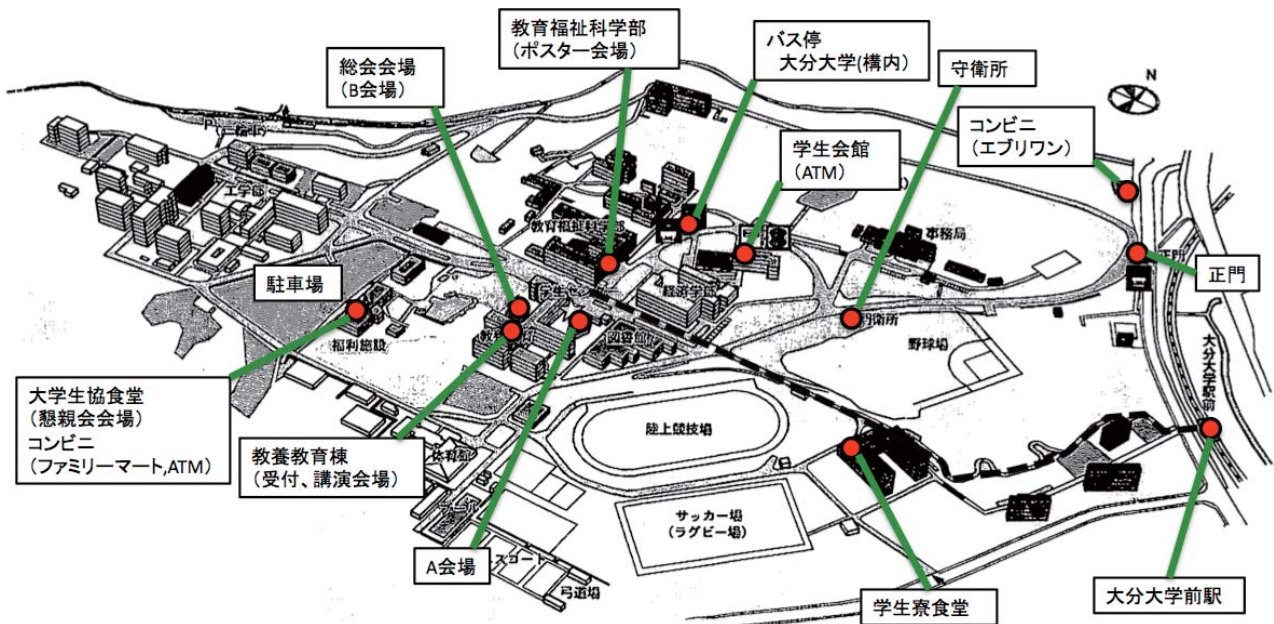
- 大分駅—JR豊肥本線(15分)—大分大学前駅—徒歩(5分)—大分大学(240円)

#### ■大学まで【バス】

- バス乗車場(大分バス)「大分駅前」(北口:府内中央口)もしくは「トキハデパート前①のりば」
- 「大南団地・高江ニュータウン」大分大学行き——(30分)——「大分大学(構内)」下車(360円)
- 「戸次」「臼杵」「竹田」「佐伯」行き——(30分)——「大分大学入口」下車(構内には行きません)

- タクシー利用の場合は大分駅から2400円～3000円(約20分)

## キャンパスマップ



JR大分大学前駅からは駅前の信号を渡って、そのまま構内の舗装スロープから進み、陸上競技場と野球場の間の道を通り(上図の破線)、大学を東西に横切るメインストリート(車の通行は原則禁止)からお出で下さい。

受付: 教養教育棟(1階 13号教室)

総会: B会場(第二大講義室)

講演会場、会議室: 教養教育棟(1階～4階)

談話室: 教養教育棟(2階)、教育福祉科学部棟(2,3階 学生ラウンジの一部)

ポスター会場: 教育福祉科学部棟(2, 3階)

懇親会: 大学生協食堂

※大分大学は敷地内全面禁煙です。

※車の場合は正門よりお入りください。駐車場は守衛所からそのまま真っすぐ進み、体育館で右折した先にある大学生協の西側です。メインストリートは通行できません。

※インターネット(無線)の利用は学会受付時に申請書に記入する必要があります。

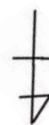
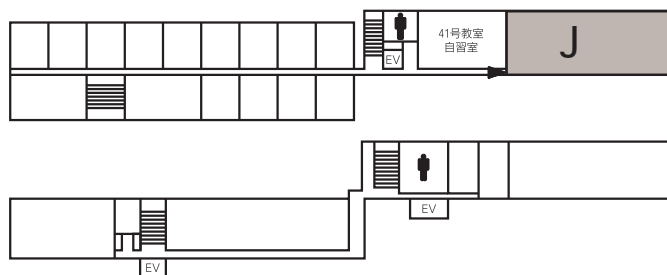
※大学生協食堂は11時より14時30分までの営業です。

※懇親会終了後は大分駅方面行きの臨時バス(懇親会参加者は無料)を準備しています。



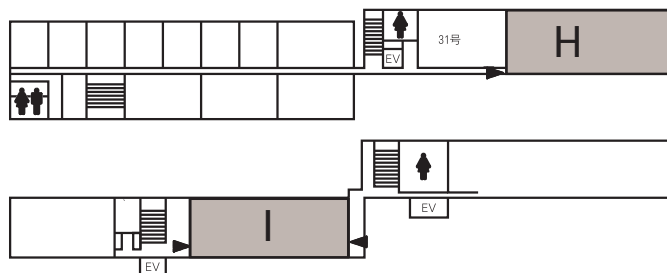
# 会場案内図 (教養教育棟)

4階

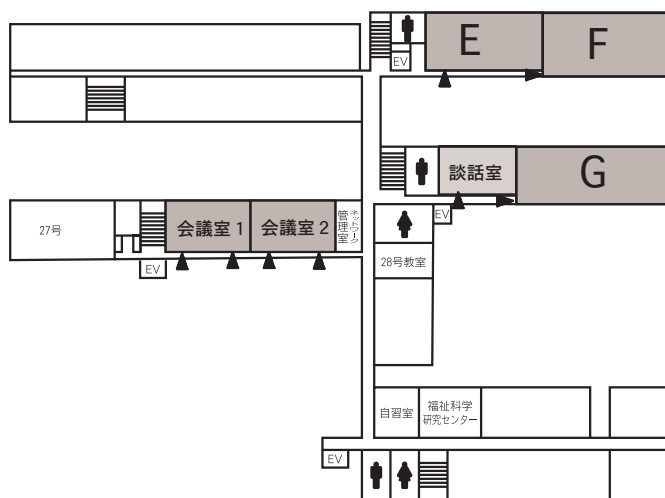


※ A,B会場以外は2階部分でつながっています

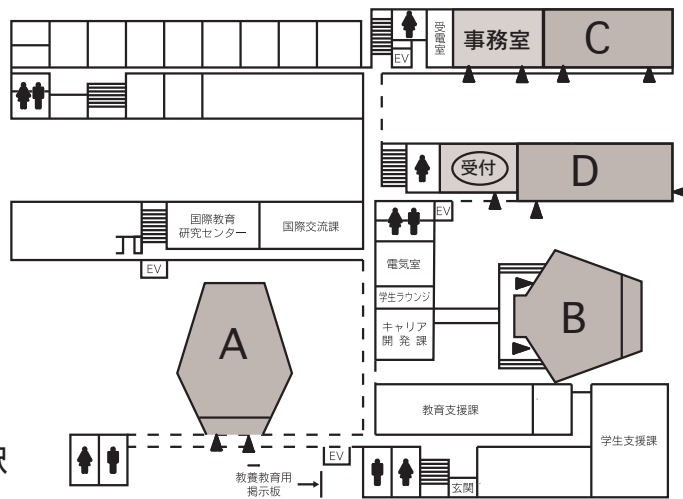
3階



2階



1階



大分大学前駅



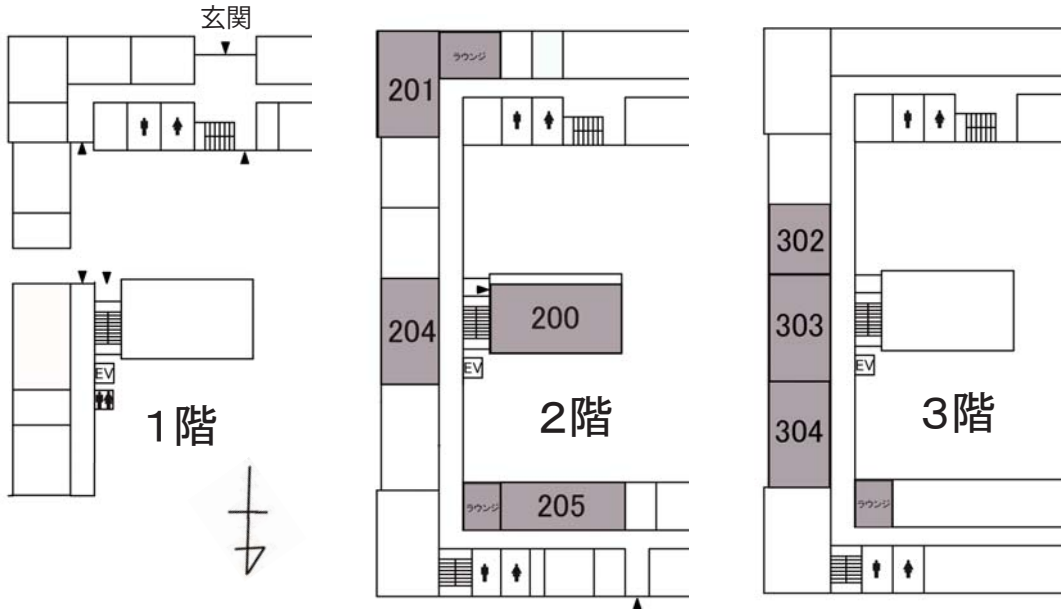
大学生協



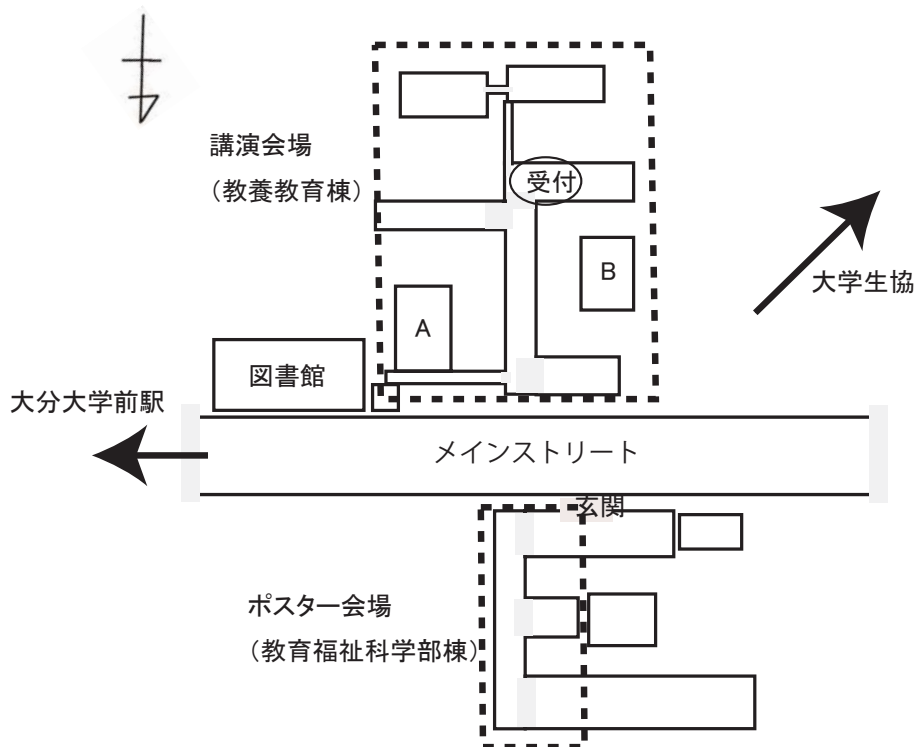
# 会場案内図

## ポスター会場（教育福祉科学部棟）

※ラウンジも談話室として使用可



## 講演会場とポスター会場の位置関係



## 口頭セッション 9月19日(水)

|       | A会場               | B会場                  | C会場       | D会場                  | E会場                     | F会場                  | G会場                  | H会場                     | I会場                     | J会場                  |   |
|-------|-------------------|----------------------|-----------|----------------------|-------------------------|----------------------|----------------------|-------------------------|-------------------------|----------------------|---|
| 開始時刻  | 【多波長偏光】           | 【恒星】                 | 【太陽系】     | 【超新星爆発】              | 【地上観2】                  | 【銀河】                 | 【飛翔観】                | 【星・惑星1】                 | 【銀河核】                   | 【高密度星】               |   |
| 11:00 | B01r<br>S<br>B10a | N01a                 | L01a      | K01a                 | V201a                   | R01a                 | W01a                 | P101a                   | S01a                    | J01a                 |   |
| 11:12 |                   | N02a                 | L02a      | K02a                 | V202a                   | R02a                 | W02a                 | P102a                   | S02a                    | J02a                 |   |
| 11:24 |                   | N03a                 | L03a      | K03a                 | V203a                   | R03b<br>R04b<br>R05b | W03a                 | P103a                   | S03a                    | J03a                 |   |
| 11:36 |                   | N04a                 | L04a      | K05a                 | V204a                   | R06a                 | W04b<br>W05b<br>W06b | P104a                   | S04a                    | J04a                 |   |
| 11:48 |                   | N05a                 | L05a      | K06a                 | V205b<br>V206b<br>V207b | R07b<br>R08b<br>R09b | W07b<br>W08b<br>W09b | P105a                   | S05a                    | J05a                 |   |
| 12:00 |                   | N06a                 | L06a      | K07a                 | V208b<br>V209b<br>V210b | R12b<br>R13b<br>R14b | W10a                 | P106a                   | S06a                    | J06a                 |   |
| 12:12 |                   | N07b<br>N08b<br>N09b | L07a      | K08a                 | V211b<br>V212b<br>V213b | R15a                 | W11a                 | P107a                   | S07a                    | J07a                 |   |
| 12:24 |                   | N13a                 | L08a      | K09a                 | V214a                   | R16b<br>R17b<br>R18b | W12a                 | P108a                   | S08a                    | J08a                 |   |
| 12:36 |                   | N14a                 | L09a      | K10a                 | V215a                   | -                    | W13a                 | P109a                   | S09a                    | J09a                 |   |
| 12:48 |                   | N15a                 | L10b,L11b | K11a                 | V216a                   | -                    | W14a                 | P110a                   | S10b<br>S11b<br>S12b    | J10b<br>J11b<br>J12b |   |
| 13:00 |                   | -                    | -         | -                    | -                       | -                    | -                    | -                       | P111b<br>P112b<br>P113b | -                    | - |
| 13:12 |                   | -                    | -         | -                    | -                       | -                    | -                    | -                       | P114b<br>P115b<br>P116b | -                    | - |
| 13:00 |                   | 昼休み(理事会)             |           |                      |                         |                      |                      |                         |                         |                      |   |
| 14:00 |                   | ポスター                 |           |                      |                         |                      |                      |                         |                         |                      |   |
| 開始時刻  | 【多波長偏光】           | 【恒星】                 | 【宇宙論】     | 【超新星爆発】              | 【地上観2】                  | 【銀河】                 | 【飛翔観】                | 【星・惑星1】                 | 【銀河核】                   | 【高密度星】               |   |
| 15:00 | B11r<br>S<br>B23b | N16a                 | U01a      | K12a                 | V217a                   | R19a                 | W15a                 | P117a                   | S13a                    | J15a                 |   |
| 15:12 |                   | N17a                 | U02a      | K13a                 | V218a                   | R20a                 | W16a                 | P118a                   | S14a                    | J16a                 |   |
| 15:24 |                   | N18a                 | U03a      | K14b<br>K15b<br>K16b | V219b<br>V220b<br>V221b | R21a                 | W17a                 | P119a                   | S15a                    | J17a                 |   |
| 15:36 |                   | N19a                 | U04a      | K17a                 | V222a                   | R22a                 | W18a                 | P120a                   | S16b<br>S17b<br>S18b    | J18a                 |   |
| 15:48 |                   | -                    | U05a      | K18a                 | V224a                   | R23a                 | W19a                 | P121a                   | S21a                    | J19a                 |   |
| 16:00 |                   | -                    | U06a      | K19a                 | V225a                   | R25a                 | W20b<br>W21b<br>W22b | P122a                   | S22a                    | J20a                 |   |
| 16:12 |                   | -                    | U07a      | K20a                 | V226b<br>V227b<br>V228b | -                    | W23a                 | P123a                   | S23b<br>S24b<br>S25b    | J21a                 |   |
| 16:24 |                   | -                    | U08a      | K21b                 | V229a                   | -                    | W24a                 | P124b<br>P125b<br>P126b | S26a                    | J22a                 |   |
| 16:36 |                   | -                    | U09a      | -                    | V230a                   | -                    | W25a                 | -                       | S27a                    | J23a                 |   |
| 16:48 |                   | -                    | U10b      | -                    | V231b<br>V232b<br>V233b | -                    | W26b<br>W27b<br>W28b | -                       | S28a                    | J24a                 |   |
| 17:00 | -                 | -                    | -         | -                    | -                       | -                    | W29b                 | -                       | S29b                    | J25b<br>J26b         |   |
| 17:00 | 天文教育フォーラム(B会場)    |                      |           |                      |                         |                      |                      |                         |                         |                      |   |

## 口頭セッション 9月20日(木)

|       | A会場               | B会場                  | C会場                  | D会場                  | E会場                  | F会場                     | G会場                  | H会場                     | I会場                     | J会場                  |
|-------|-------------------|----------------------|----------------------|----------------------|----------------------|-------------------------|----------------------|-------------------------|-------------------------|----------------------|
| 開始時刻  | 【時間領域天文】          | 【星間現象】               | 【宇宙論】                | 【太陽】                 | 【地上観2】               | 【地上観1】                  | 【飛翔観】                | 【星・惑星1】                 | 【銀河核】                   | 【高密度星】               |
| 09:30 | A01a<br>∩<br>A08a | Q01a                 | U12a                 | M01a                 | V237a                | V101a                   | W30a                 | P130a                   | S30a                    | J27a                 |
| 09:42 |                   | Q02a                 | U13a                 | M02a                 | V238a                | V102a                   | W31a                 | P131a                   | S31a                    | J28a                 |
| 09:54 |                   | Q03a                 | U14a                 | M03a                 | V239a                | V103a                   | W32a                 | P132a                   | S32a                    | J29b<br>J30b<br>J31b |
| 10:06 |                   | Q04a                 | U15a                 | M04a                 | V240a                | V104b<br>V105b<br>V106b | W33b<br>W34b<br>W35b | P133a                   | S33a                    | J32a                 |
| 10:18 |                   | Q05a                 | U16a                 | M05a                 | V241a                | V107b<br>V108b<br>V109b | W36a                 | P134a                   | S34a                    | J33a                 |
| 10:30 |                   | Q06a                 | U17a                 | M06a                 | V242a                | V110b<br>V111b<br>V112b | W37a                 | P135a                   | S35a                    | J34a                 |
| 10:42 |                   | Q07a                 | U18a                 | M07b<br>M08b<br>M09b | V243a                | V116b<br>V117b<br>V118b | W38a                 | P136a                   | S36a                    | J35a                 |
| 10:54 |                   | Q08a                 | U19a                 | M10b<br>M11b<br>M12b | V244a                | V119b<br>V120b<br>V121b | W39a                 | P137a                   | S37a                    | J36a                 |
| 11:06 |                   | Q09a                 | U20a                 | M13b<br>M14b<br>M15b | V245a                | V122b<br>V123b<br>V124b | W40a                 | P138b<br>P139b<br>P140b | S38a                    | J37a                 |
| 11:18 |                   | Q10a                 | U21a                 | M16b<br>M17b         | V246a                | V125b                   | W41a                 | -                       | S39a                    | J38b<br>J39b<br>J41b |
| 11:30 | -                 | Q11b<br>Q12b<br>Q13b | U22a                 | -                    | V247a                | -                       | -                    | -                       | S40b<br>S41b<br>S42b    | J43b<br>J44b         |
| 11:42 | -                 | Q14b<br>Q15b<br>Q16b | U23b<br>U24b         | -                    | V248b                | -                       | -                    | -                       | -                       | -                    |
| 11:54 | -                 | Q17b                 | -                    | -                    | -                    | -                       | -                    | -                       | -                       | -                    |
| 11:30 | ポスター              |                      |                      |                      |                      |                         |                      |                         |                         |                      |
| 12:30 | 昼休み(評議員会)         |                      |                      |                      |                      |                         |                      |                         |                         |                      |
| 開始時刻  | 【時間領域天文】          | 【星間現象】               | 【銀河形成】               | 【太陽】                 | 【教育・他】               | 【地上観1】                  | 【飛翔観】                | 【星・惑星1】                 | 【星・惑星2】                 | 【高密度星】               |
| 13:30 | A09a<br>∩<br>A15b | Q20a                 | X01a                 | M18a                 | Y01b<br>Y02b<br>Y03b | V127a                   | W42a                 | P143a                   | P201a                   | J45a                 |
| 13:42 |                   | Q21a                 | X02a                 | M19a                 | Y04a                 | V128a                   | W43b<br>W44b<br>W45b | P144a                   | P202a                   | J46a                 |
| 13:54 |                   | Q22a                 | X03a                 | M20a                 | Y05b<br>Y06b<br>Y07b | V129a                   | W47a                 | P145a                   | P203a                   | J47a                 |
| 14:06 |                   | Q23a                 | X04a                 | M21a                 | Y09a                 | V130a                   | W48b<br>W49b<br>W52b | P146a                   | P204a                   | J48a                 |
| 14:18 |                   | Q24a                 | X05b<br>X06b<br>X07b | M22a                 | Y10a                 | V131a                   | W54a                 | P147a                   | P205a                   | J49a                 |
| 14:30 |                   | Q25a                 | X08b<br>X09b<br>X10b | M23a                 | Y11a                 | V132a                   | W55a                 | P148a                   | P206a                   | J50a                 |
| 14:42 |                   | Q26a                 | X11b<br>X12b<br>X13b | M24a                 | Y12b<br>Y13b<br>Y14b | V133a                   | W56b<br>W57b<br>W58b | P149a                   | P207a                   | J51a                 |
| 14:54 |                   | Q27a                 | X14a                 | M27a                 | Y15b<br>Y16b<br>Y17b | V134a                   | W59a                 | P150a                   | P208b<br>P209b<br>P210b | J52a                 |
| 15:06 |                   | Q28b<br>Q29b<br>Q30b | X15a                 | M28a                 | Y18b<br>Y19b<br>Y20b | V135b<br>V136b<br>V137b | W60a                 | P151a                   | P211b<br>P212b<br>P213b | J53a                 |
| 15:18 |                   | Q31b<br>Q32b         | X16a                 | M29a                 | Y21a                 | V138b<br>V139b<br>V140b | W61b<br>W62b<br>W63b | -                       | P214b<br>P215b          | J54a                 |
| 15:30 | 総会(B会場)           |                      |                      |                      |                      |                         |                      |                         |                         |                      |
| 17:30 | 懇親会               |                      |                      |                      |                      |                         |                      |                         |                         |                      |

## 口頭セッション 9月21日(金)

|       | A会場               | B会場    | C会場    | D会場  | E会場    | F会場    | G会場                  | H会場     | I会場     | J会場    |
|-------|-------------------|--------|--------|------|--------|--------|----------------------|---------|---------|--------|
| 開始時刻  | 【時間領域天文】          | 【星間現象】 | 【銀河形成】 | 【太陽】 | 【教育・他】 | 【地上観1】 | 【飛翔観】                | 【星・惑星1】 | 【星・惑星2】 | 【高密度星】 |
| 09:30 | A16a<br>)<br>A22a | Q34a   | X17a   | M30a | Y22a   | V141a  | W64a                 | P154a   | P216a   | J55a   |
| 09:42 |                   | Q35a   | X18a   | M31a | Y23a   | V142a  | W65a                 | P155a   | P217a   | J56a   |
| 09:54 |                   | Q36a   | X19a   | M32a | Y24a   | V143a  | W66a                 | P156a   | P218a   | J57a   |
| 10:06 |                   | Q37a   | X20a   | M33a | Y25a   | V144a  | W67a                 | P157a   | P219a   | J58a   |
| 10:18 |                   | Q38a   | X21a   | M34a | Y26a   | V145a  | W68a                 | P158a   | P220a   | J59a   |
| 10:30 |                   | Q39a   | X22a   | M35a | Y27a   | V146a  | W69b<br>W70b<br>W72b | P159a   | P221a   | J60a   |
| 10:42 |                   | Q40a   | X24a   | M36a | Y28a   | V147a  | T01a                 | P160a   | P222a   | J61a   |
| 10:54 |                   | Q41a   | X25a   | M37a | Y29a   | V148a  | T02a                 | P161a   | P223a   | J62a   |
| 11:06 |                   | Q42a   | X26a   | M38a | Y30a   | -      | T03a                 | P162a   | P224a   | -      |
| 11:18 |                   | Q43a   | X27a   | M39a | -      | -      | T04a                 | -       | P225a   | -      |
| 11:30 | -                 | Q44a   | -      | -    | -      | -      | -                    | -       | -       |        |
| 11:30 | ポスター              |        |        |      |        |        |                      |         |         |        |
| 12:30 | 昼休み               |        |        |      |        |        |                      |         |         |        |
| 開始時刻  | 【時間領域天文】          | 【星間現象】 | 【銀河形成】 | 【太陽】 | 【教育・他】 | 【地上観1】 | 【銀河団】                |         | 【星・惑星2】 |        |
| 13:30 | A23r<br>)<br>A28a | Q46a   | X28a   | M40a | Y31a   | V149a  | T05a                 |         | P226a   |        |
| 13:42 |                   | Q47a   | X29a   | M41a | Y32a   | V150a  | T06a                 |         | P227a   |        |
| 13:54 |                   | Q48a   | X30a   | M42a | Y33a   | V151a  | T07a                 |         | P228a   |        |
| 14:06 |                   | Q49a   | X31a   | M43a | Y35a   | V152a  | T08a                 |         | P229a   |        |
| 14:18 |                   | Q50a   | X32a   | M44a | -      | V153a  | T09a                 |         | P230a   |        |
| 14:30 |                   | Q51a   | X33a   | M45a | -      | V154a  | T10a                 |         | P231a   |        |
| 14:42 |                   | Q52a   | X34a   | M46a | -      | V155a  | T11a                 |         | P232a   |        |
| 14:54 |                   | Q53a   | -      | M47a | -      | -      | -                    |         | P233a   |        |
| 15:06 | -                 | -      | -      | -    | -      | -      |                      | -       |         |        |
| 15:20 | 特別セッション (B会場)     |        |        |      |        |        |                      |         |         |        |

ポスターセッション 9月19日(水) ~ 9月21日(金)

ポスター会場 1 (200号教室)

【時間領域天文】(1)

A15b

【多波長偏光】(7)

B19b B20b B21b B22b B23b

B24c B25c

【高密度星】(17)

J10b J11b J12b J13c J14c

J25b J26b J29b J30b J31b

J38b J39b J40c J41b J42c

J43b J44b

【超新星爆発】(5)

K04c K14b K15b K16b K21b

【太陽系】(3)

L10b L11b L12c

【太陽】(13)

M07b M08b M09b M10b M11b

M12b M13b M14b M15b M16b

M17b M25c M26c

【展示コーナー】

Exelis VIS (株)

日本真空光学 (株)

ポスター会場 2 (201号教室)

【恒星】(6)

N07b N08b N09b N10c N11c

N12c

【銀河】(15)

R03b R04b R05b R07b R08b

R09b R10c R11c R12b R13b

R14b R16b R17b R18b R24c

【活動銀河核】(15)

S10b S11b S12b S16b S17b

S18b S19c S20c S23b S24b

S25b S29b S40b S41b S42b

ポスター会場 3 (204号教室)

【星・惑星形成 1】(19)

P111b P112b P113b P114b P115b

P116b P124b P125b P126b P127c

P128c P129c P138b P139b P140b

P141c P142c P152c P153c

【星・惑星形成 2】(8)

P208b P209b P210b P211b P212b

P213b P214b P215b

【星間現象】(16)

Q11b Q12b Q13b Q14b Q15b

Q16b Q17b Q18c Q19c Q28b

Q29b Q30b Q31b Q32b Q33c

Q45c

ポスターセッション 9月19日(水) ~ 9月21日(金)

ポスター会場 4 (205号教室)

【宇宙論】(5)

U10b U11c U23b U24b U25c

【銀河形成】(10)

X05b X06b X07b X08b X09b

X10b X11b X12b X13b X23c

【天文教育・他】(17)

Y01b Y02b Y03b Y05b Y06b

Y07b Y08c Y12b Y13b Y14b

Y15b Y16b Y17b Y18b Y19b

Y20b Y34c

ポスター会場 5 (302号教室)

【地上観測機器 2】(23)

V205b V206b V207b V208b V209b

V210b V211b V212b V213b V219b

V220b V221b V223c V226b V227b

V228b V231b V232b V233b V234c

V235c V236c V248b

ポスター会場 6 (303号教室)

【地上観測機器 1】(29)

V104b V105b V106b V107b V108b

V109b V110b V111b V112b V113c

V114c V115c V116b V117b V118b

V119b V120b V121b V122b V123b

V124b V125b V126c V135b V136b

V137b V138b V139b V140b

ポスター会場 7 (304号教室)

【飛翔体観測機器】(36)

W04b W05b W06b W07b W08b

W09b W20b W21b W22b W26b

W27b W28b W29b W33b W34b

W35b W43b W44b W45b W46c

W48b W49b W50c W51c W52b

W53c W56b W57b W58b W61b

W62b W63b W69b W70b W71c

W72b

【PDL】

【最新情報コーナー】

## A. 時間領域天文

|                        |   |                        |  |
|------------------------|---|------------------------|--|
| <b>9月20日(木) 午前・A会場</b> |   |                        |  |
| 09:30                  | <b>A01a</b> 時間変動天体に関する情報流通の現状と展望・24分<br>山岡 均 (九州大学)   | 14:42                  | <b>A12a</b> MAXI 突発天体発見システムとその最新の成果・12分<br>浅田 真 (日本大学)   |
| 09:54                  | <b>A02a</b> フェルミ衛星による MeV/GeV 領域におけるトランジェント現象の観測・24分<br>田中康之 (広島大学)   | 14:54                  | <b>A13a</b> MAXI によるブラックホール新星の長時間変動の観測・12分<br>中平聡志 (宇宙航空研究開発機構)  |
| 10:18                  | <b>A03a</b> Cherenkov Telescope Array による高時間分解能ガンマ線観測で迫る コンパクト変動天体・突発天体・12分<br>井上 進 (東京大学)  | 15:06                  | <b>A14a</b> MAXI が捉えた Be 型 X 線連星パルサーの X 線アウトバースト・12分<br>中島基樹 (日本大学)  |
| 10:30                  | <b>A04a</b> 活動銀河核からの GeV ガンマ線放射の時間変動解析・12分<br>中川兼治 (立命館大学)  | 15:18                  | <b>A15b</b> 鹿島 34m、臼田 64m アンテナによる Crab パルサー観測から得られた Giant Radio Pulse の発生時間頻度分布・3分<br>関戸 衛 (情報通信研究機構)                      |
| 10:42                  | <b>A05a</b> 潮汐破壊事象と新天体 Swift J1644+57・12分<br>薄井竜一 (東京工業大学)  | <b>9月21日(金) 午前・A会場</b> |  |
| 10:54                  | <b>A06a</b> 時間領域でみる重力波信号の解析とフォローアップ観測・12分<br>神田展行 (大阪市立大学)  | 09:30                  | <b>A16a</b> 可視広視野カメラによる変動天体大規模サーベイ・24分<br>諸隈智貴 (東京大学)  |
| 11:06                  | <b>A07a</b> Constructing an Alert System with the Hilbert Huang Transform in Search for Gravitational Wave Bursts・12分<br>高橋弘毅 (山梨英和大学)            | 09:54                  | <b>A17r</b> ガンマ線バースト残光観測の現状と課題・24分<br>河合誠之 (東京工業大学)  |
| 11:18                  | <b>A08a</b> Multi-messenger observations of radio transients using gravitational wave telescopes and the Nasu radio telescope・12分<br>端山和大 (国立天文台) | 10:18                  | <b>A18a</b> 時間領域天文学と超新星爆発・24分<br>富永 望 (甲南大学)   |
| <b>9月20日(木) 午後・A会場</b> |   | 10:42                  | <b>A19a</b> 全天 X 線監視装置 MAXI によるガンマ線バースト・X 線閃光の観測・12分<br>芹野素子 (理化学研究所)  |
| 13:30                  | <b>A09a</b> 近赤外で迫るトランジット系外惑星の研究・24分<br>福井暁彦 (国立天文台)   | 10:54                  | <b>A20a</b> 連星中性子星合体の電磁波対応天体・12分<br>久徳浩太郎 (KEK 素核研)  |
| 13:54                  | <b>A10a</b> 太陽系始原天体のアウトバースト現象について・24分<br>石黒正晃 (ソウル大学)   | 11:06                  | <b>A21a</b> 光赤外線大学間連携における超新星爆発の ToO 観測状況報告・12分<br>山中雅之 (京都大学)  |
| 14:18                  | <b>A11a</b> MAXI による変動 X 線天体の観測・24分<br>三原建弘 (理化学研究所)  | 11:18                  | <b>A22a</b> Unusual Long and Luminous Optical Transient in the Subaru Deep Field・12分<br>浦田裕次 (National Central University) |



## B. 多波長偏光

| 9月21日(金) 午後・A会場   | 9月19日(水) 午前・A会場   |
|---|---|
| 13:30 <b>A23r</b> マイクロレンズ・24分<br>住 貴宏 (大阪大学)                              | 11:00 <b>B01r</b> ジェット天体 (AGN, GRB) の偏光理論・20分<br>當真賢二 (大阪大学)                    |
| 13:54 <b>A24a</b> 晩期型星のフレア・24分<br>柴田一成 (京都大学)                             | 11:20 <b>B02a</b> 宇宙最大の爆発「ガンマ線バースト」はシンクロトロン放射起源か?・12分<br>米徳大輔 (金沢大学)            |
| 14:18 <b>A25r</b> 脈動変光星の大規模観測: KISOGP計画・24分<br>松永典之 (東京大学)                | 11:32 <b>B03a</b> ガンマ線バースト X 線偏光観測衛星 TSUBAME の開発・10分<br>谷津陽一 (東京工業大学)           |
| 14:42 <b>A26a</b> スーパーフレアを起こす晩期型星の性質・12分<br>前原裕之 (京都大学)                   | 11:42 <b>B04a</b> 可視 1 露出型偏光撮像器 HOWPol と GRB 初期残光の偏光観測・12分<br>川端弘治 (広島大学)       |
| 14:54 <b>A27a</b> 全天 X 線監視装置 MAXI/GSC を用いた星の巨大フレアの探査・12分<br>比嘉将也 (中央大学)   | 11:54 <b>B05a</b> 可視光偏光分光観測で探る超新星爆発の3次元形状・12分<br>田中雅臣 (国立天文台)                   |
| 15:06 <b>A28a</b> 星形成領域の近赤外線モニター観測による若い変光天体サーベイ・12分<br>中島亜紗美 (東京大学/国立天文台) | 12:06 <b>B06a</b> ブレーザー天体の多波長偏光観測・12分<br>深沢泰司 (広島大学)                            |
|   | 12:18 <b>B07a</b> 活動銀河核ジェットの高エネルギー放射領域の探査と ALMA 偏光観測への展望・12分<br>永井 洋 (国立天文台)    |
|   | 12:30 <b>B08a</b> スターバースト銀河 M82 のスーパーウインドの偏光分光観測によるダストフローの研究・12分<br>吉田道利 (広島大学) |
|   | 12:42 <b>B09a</b> X 線ガンマ線偏光観測小型衛星 Polaris・12分<br>林田 清 (大阪大学)                    |
|   | 12:54 <b>B10a</b> PoGOLite 気球実験: 2012 年のパスマインダーフライト・10分<br>高橋弘充 (広島大学)          |

| 9月19日(水) 午後・A会場 |  |
|-----------------|--|
| 15:00           | <b>B11r</b> 惑星形成現場の偏光観測・20分<br>田村元秀(国立天文台)   |
| 15:20           | <b>B12a</b> 星形成過程の偏波観測シミュレーション・12分<br>富阪幸治(国立天文台)                                  |
| 15:32           | <b>B13a</b> 偏光観測で探る星形成過程における分子雲コアの磁力線構造・12分<br>片岡章雅(総研大/国立天文台)                     |
| 15:44           | <b>B14a</b> CMB 偏光観測衛星 LiteBIRD・12分<br>羽澄昌史(高エネルギー加速器研究機構)                         |
| 15:56           | <b>B15a</b> ハンレ効果をもたらす革新的な磁場測定手法・12分<br>石川遼子(国立天文台)                                |
| 16:08           | <b>B16a</b> 太陽 Ly $\alpha$ 線偏光観測ロケット実験 CLASP が挑む遷移層～彩層磁場測定・12分<br>成影典之(宇宙航空研究開発機構) |
| 16:20           | <b>B17a</b> 時間相関イメージセンサによる太陽磁場の偏光観測の原理と実験・12分<br>安藤 繁(東京大学)                        |
| 16:32           | <b>B18a</b> 飛騨天文台ドームレス太陽望遠鏡における広波長域高精度偏光観測システムの開発と観測・12分<br>一本 潔(京都大学)             |
| 16:44           | <b>B19b</b> X線撮像偏光観測に向けた曲がった結晶反射鏡の開発・3分<br>栗屋 崇(中央大学)                              |
| 16:47           | <b>B20b</b> X線偏光観測衛星 GEMS とロケット実験 XACT・3分<br>玉川 徹(理化学研究所)                          |
| 16:50           | <b>B21b</b> 分光ミューラー行列測定装置による液晶可変遅延素子の特性評価・3分<br>萩野正興(京都大学)                         |
| 16:53           | <b>B22b</b> 次期太陽観測衛星 SOLAR-C で目指す高精度偏光観測による彩層磁場診断・3分<br>勝川行雄(国立天文台)                |
| 16:56           | <b>B23b</b> CMZ 付近の偏光観測から見えるもの・3分<br>義川達人(京都大学)                                    |
|                 | <b>B24c</b> 超広帯域波長板の開発<br>一本 潔(京都大学)   |
|                 | <b>B25c</b> 飛騨天文台 SMART-T4 望遠鏡における偏光変調精度の考察<br>永田伸一(京都大学)                          |

## J. 高密度星

| 9月19日(水) 午前・J会場 |  | 9月19日(水) 午後・J会場 |   |
|-----------------|--|-----------------|---|
| 11:00           | <b>J01a</b> ブラックホール磁気圏における自発的磁気リコネクションの数値計算<br>小出眞路 (熊本大学)   | 12:48           | <b>J12b</b> ブラックホール候補天体 MAXI J1836-194 の可視光観測<br>薄井竜一 (東京工業大学)      |
| 11:12           | <b>J02a</b> 一般相対論的 MHD 計算による Blandford-Znajek 効果の検証: 富松・高橋磁場解の場合 (2)<br>眞榮田義臣 (京都大学)                     |                 | <b>J13c</b> ブラックホール時空の摂動効果の電磁波観測量<br>高橋劣太 (苫小牧高専)                   |
| 11:24           | <b>J03a</b> 球対称ブラックホール降着流: 臨界降着率近傍での観測的特徴<br>小林 弘 (大阪教育大学)   |                 | <b>J14c</b> チャーン・サイモン修正重力におけるブラックホールの性質<br>金野幸吉 (苫小牧工業高等専門学校)       |
| 11:36           | <b>J04a</b> 2本腕に変形した円盤での vertical p-mode 振動と g-mode 振動の共鳴励起とブラックホール連星での twin high frequency QPOs<br>加藤正二 | 9月19日(水) 午後・J会場 |   |
| 11:48           | <b>J05a</b> 降着円盤 (平行平板大気) における輻射輸送の取り扱いについて、3題: 外部照射の効果、非等方散乱の問題、原始惑星系円盤への応用<br>福江 純 (大阪教育大学)            | 15:00           | <b>J15a</b> 構造を持つ相対論的ジェットからの光球面放射<br>伊藤裕貴 (京都大学)                    |
| 12:00           | <b>J06a</b> ブラックホール存在の観測的立証に向けた一般相対論的な理論整備<br>斉田浩見 (大同大学)  | 15:12           | <b>J16a</b> 時間発展シミュレーションによるガンマ線バースト光球モデルの検討<br>浅野勝晃 (東京工業大学)        |
| 12:12           | <b>J07a</b> 「すざく」で観る Cyg X-1 のソフト状態におけるスペクトルの時間変動<br>鳥井俊輔 (東京大学)   | 15:24           | <b>J17a</b> 希薄波が相対論的高温ジェットに与える影響 (II)<br>松本 仁 (国立天文台)               |
| 12:24           | <b>J08a</b> 「すざく」による LMC X-1 のソフト状態における観測<br>小山志勇 (埼玉大学)   | 15:36           | <b>J18a</b> 長時間駆動エンジンによるガンマ線バーストジェットの性質<br>大北晨平 (東京大学)              |
| 12:36           | <b>J09a</b> 「すざく」衛星による ULX 天体 HOLMBERG IX X-1 の観測<br>小林翔悟 (東京大学)   | 15:48           | <b>J19a</b> ガンマ線バーストジェットの開き角<br>水田 晃 (高エネルギー加速器研究機構)                |
| 12:48           | <b>J10b</b> 降着円盤ダイナモと状態遷移の大局的 3次元磁気流体計算<br>小野貴史 (千葉大学)   | 16:00           | <b>J20a</b> 低質量種族 III 星が起こすガンマ線バーストの特徴とその観測可能性<br>仲内大翼 (京都大学)       |
| 12:48           | <b>J11b</b> 極高光度 X 線源の 2 万太陽質量ブラックホール候補<br>川口俊宏 (筑波大学)   | 16:12           | <b>J21a</b> ガンマ線バーストの内部衝撃波モデルにおける重力波放射<br>秋葉昭太 (日本大学)               |
|                 |  | 16:24           | <b>J22a</b> 濃い星周物質中での long GRB jet のダイナミクスと熱的 X 線放射<br>鈴木昭宏 (国立天文台) |

|                        |             |   |       |             |  |
|------------------------|-------------|---|-------|-------------|--|
| 16:36                  | <b>J23a</b> | GRB050525A におけるバースト発生後に放射された硬X線の探査<br>大森法輔 (宮崎大学)     | 10:30 | <b>J34a</b> | Very High Energy Pulsed Emission from the Crab Pulsar<br>Hirotaki, Kouichi (TIARA/ASIAA, Taiwan) |
| 16:48                  | <b>J24a</b> | GRB 080325 母銀河の近赤外線分光観測<br>橋本哲也 (国立天文台)               | 10:42 | <b>J35a</b> | 「すざく」衛星搭載 HXD による Crab の変動追跡 (3)<br>神頭知美 (埼玉大学)  |
| 17:00                  | <b>J25b</b> | 「すざく」衛星搭載広帯域全天モニタ WAM の GRB カタログの構築 II<br>秋山 満 (宮崎大学) | 10:54 | <b>J36a</b> | 巨大フレア現象と中性子星クラストの超流動性<br>祖谷 元 (国立天文台)  |
| 17:00                  | <b>J26b</b> | 超相対論的な流体中におけるガンマ線輸送シミュレーション<br>石井彩子 (東北大学)            | 11:06 | <b>J37a</b> | アウトバーストから1年半経過したマグネター 1E 1547.0-5408 の「すざく」衛星による追観測<br>岩橋孝典 (理化学研究所 / 東京理科大学)                    |
| <b>9月20日(木) 午前・J会場</b> |             |   |       |             |  |
| 09:30                  | <b>J27a</b> | 大質量磁場中性子星の三次元一般相対論的磁気流体シミュレーション<br>木内建太 (京都大学)        | 11:18 | <b>J38b</b> | パルサーの距離情報を用いた銀河系内電離ガス密度分布推定 II<br>亀谷 収 (国立天文台)   |
| 09:42                  | <b>J28a</b> | カラー超伝導と核子の超流動を考慮したハイブリッド星の冷却<br>野田常雄 (九州大学)           | 11:18 | <b>J39b</b> | 回転駆動型パルサーにみられるマグネター様活動の探査について<br>柴田晋平 (山形大学)   |
| 09:54                  | <b>J29b</b> | 中性子星・白色矮星磁気圏の活動性と多重極磁場の効果<br>和田智秀 (国立天文台)             |       | <b>J40c</b> | 「すざく」による強磁場パルサー PSR J0726-2612 の観測<br>青木雄太 (山形大学)  |
| 09:54                  | <b>J30b</b> | 大規模 PIC 計算に向けた新たな電磁場解法<br>松本洋介 (千葉大学)                 | 11:18 | <b>J41b</b> | 超強磁場中性子星マグネターの赤外線による観測的研究<br>金子健太 (工学院大学 / 理化学研究所)   |
| 09:54                  | <b>J31b</b> | 相対論衝撃波の粒子シミュレーション技法<br>銭谷誠司 (国立天文台)                   |       | <b>J42c</b> | マグネターの giant flare に伴う Alfvén wave の磁気圏への影響<br>高本 亮 (名古屋大学)                                      |
| 10:06                  | <b>J32a</b> | 非フォースフリーパルサー磁気圏の数値計算<br>加藤祐悟 (広島大学)                   | 11:30 | <b>J43b</b> | すざく衛星による GX1+4 の観測と XIS の SCF 効果の補正<br>吉田裕貴 (立教大学)   |
| 10:18                  | <b>J33a</b> | パルサー風の終端衝撃波における電磁エネルギー散逸<br>天野孝伸 (東京大学)               | 11:30 | <b>J44b</b> | はくちょう座 X-3 の公転周期による X 線エネルギースペクトルの変動<br>北本俊二 (立教大学)  |

| 9月20日(木) 午後・J会場 |   | 9月21日(金) 午前・J会場 |   |
|-----------------|---|-----------------|---|
| 13:30           | <b>J45a</b> 時間変動するマグネター磁気圏の数値計算<br>小嶋康史 (広島大学)                                    | 09:30           | <b>J55a</b> ガンマ線連星 PSR B1259-63 における星周円盤を考慮に入れた放射モデル<br>山口正輝                        |
| 13:42           | <b>J46a</b> 内部に強い磁場を伴っている中性子星の磁場構造と境界条件<br>藤澤幸太郎 (東京大学)                           | 09:42           | <b>J56a</b> 「すざく」衛星を用いた共生 X 線連星 IGR J16194-2810 の Low/Hard 状態の観測 (2)<br>北村唯子 (広島大学) |
| 13:54           | <b>J47a</b> 「すざく」衛星による活動期の AXP 4U 0142+614 の観測的研究<br>中川友進 (早稲田大学)                 | 09:54           | <b>J57a</b> 共生星型超軟 X 線源 SMC3 の X 線と可視光の光度曲線モデル<br>加藤万里子 (慶応義塾大学)                    |
| 14:06           | <b>J48a</b> MAXI で観た中性子星低質量 X 線連星のもう一つの状態遷移について<br>浅井和美 (理化学研究所)                  | 10:06           | <b>J58a</b> Post-shock 領域の X 線スペクトルモデルによる白色矮星からの非熱的放射の探査<br>林 多佳由 (宇宙航空研究開発機構)      |
| 14:18           | <b>J49a</b> 降着駆動パルサー Vela X-1 の広帯域 X 線スペクトルの時間変動とその解釈<br>小高裕和 (宇宙航空研究開発機構)        | 10:18           | <b>J59a</b> 特異な矮新星 SBS1108+535 の superoutburst 時における測光観測<br>大島誠人 (京都大学)             |
| 14:30           | <b>J50a</b> X 線連星パルサー 4U1626-67 におけるスピンドアウン期とアップ期での X 線スペクトルの比較<br>岩切 渉 (埼玉大学)    | 10:30           | <b>J60a</b> 新星 V1280 Sco の高分散可視光分光観測 II<br>内藤博之 (名古屋大学)                             |
| 14:42           | <b>J51a</b> 「すざく」衛星による X 線パルサー Hercules X-1 のスペクトル変動調査<br>阿佐美ふみ (理化学研究所 / 東京理科大学) | 10:42           | <b>J61a</b> OAO/MITSuME による SU UMa の多色測光観測<br>今田 明 (国立天文台)                          |
| 14:54           | <b>J52a</b> 「すざく」による長周期パルサー 4U 0114+65 の研究<br>笹野 理 (東京大学)                         | 10:54           | <b>J62a</b> 銀河系における古典新星の分布と種族の関係<br>今村和義 (岡山理科大学)                                   |
| 15:06           | <b>J53a</b> 放射の異方性を考慮した降着 X 線パルサーでのサイクロトロン線の特徴<br>西村 治 (長野高専)                     |                 |   |
| 15:18           | <b>J54a</b> すざくと Newton を用いた CCO 1E1207.4-5409 のスペクトル構造の研究 2<br>高橋一郎 (青山学院大学)     |                 |   |

## K. 超新星爆発

| 9月19日(水) 午前・D会場 |  | 9月19日(水) 午後・D会場 |  |
|-----------------|--|-----------------|--|
| 11:00           | <b>K01a</b> 超新星ニュートリノの包括的な理論モデルデータベースの構築<br>中里健一郎 (東京理科大学)                                     | 15:00           | <b>K12a</b> かなた望遠鏡による近傍 Ib 型超新星 SN 2012au の多色測光分光観測<br>高木勝俊 (広島大学)   |
| 11:12           | <b>K02a</b> ニュートリノ駆動型コラプサーモデルによる GRB 種族の統一像<br>長倉洋樹 (京都大学 / 早稲田大学)                             | 15:12           | <b>K13a</b> 極めて明るい II <sub>n</sub> 型超新星 SN 2010jl の爆発 1 年後の赤外超過の発見<br>上野一誠 (広島大学)                                |
| 11:24           | <b>K03a</b> 非球対称な超新星衝撃波が物質混合に与える影響<br>小野勝臣 (京都大学)  | 15:24           | <b>K14b</b> SN progenitor mass and metallicity constraints from IFU spectroscopy<br>Hanindyo Kuncarayakti (東京大学) |
|                 | <b>K04c</b> 定在降着衝撃波不安定性により誘発された重力崩壊型超新星爆発における爆発的要素合成 5 - 第一・第二世代超新星における炭素・酸素組成<br>藤本信一郎 (熊本高専) | 15:24           | <b>K15b</b> 光赤外線大学間連携による特異な Ia 型超新星 SN 2012Z の初期観測 II<br>山中雅之 (京都大学)   |
| 11:36           | <b>K05a</b> r プロセス元素の起源: 超新星爆発 vs. 中性子星合体<br>和南城伸也 (国立天文台)                                     | 15:24           | <b>K16b</b> IIP 型超新星 SN 2012aw の多色測光観測<br>野口 亮 (大阪教育大学)  |
| 11:48           | <b>K06a</b> 高温高密度下のNSE状態方程式と原子核組成が超新星爆発に与える影響<br>古澤 峻 (早稲田大学)                                  | 15:36           | <b>K17a</b> 再結合放射をしている超新星残骸の親星について<br>守屋 堯 (東京大学)  |
| 12:00           | <b>K07a</b> NSE に基づく電子捕獲反応率を用いた大質量星の重力崩壊<br>関口雄一郎 (京都大学)                                       | 15:48           | <b>K18a</b> Near-IR observations of supernova remnant G11.2-0.3<br>Ho-Gyu Lee (University of Tokyo)              |
| 12:12           | <b>K08a</b> ONe コアの重力崩壊<br>高橋 亘 (東京大学)   | 16:00           | <b>K19a</b> 「すざく」衛星による超新星残骸 CTB109 の広範囲観測<br>中野俊男 (東京大学)   |
| 12:24           | <b>K09a</b> 回転する重力崩壊型超新星の3次元数値計算<br>中村 航 (国立天文台)   | 16:12           | <b>K20a</b> MAGIC 報告 9: W51 領域からの超高エネルギーガンマ線の観測<br>齋藤隆之 (Max-Planck-Institut für Physik)                         |
| 12:36           | <b>K10a</b> スーパーチャンドラセカール質量白色矮星の Ia 型超新星爆発と進化経路<br>蜂巢 泉 (東京大学)                                 | 16:24           | <b>K21b</b> SN1006 の重元素分布と低電離 Cr, Mn K 輝線の発見<br>内田裕之 (京都大学)  |
| 12:48           | <b>K11a</b> Ia 型超新星の SD シナリオのスペクトルに見える H $\alpha$ 線<br>朽名正道 (東京大学)                             |                 |  |

## L. 太陽系

## M. 太陽

| 9月19日(水) 午前・C会場 |   | 9月20日(木) 午前・D会場 |  |
|-----------------|---|-----------------|--|
| 11:00           | <b>L01a</b> 赤外線衛星による小惑星サーベイのデータ比較—IRAS、あかり、WISE<br>白井文彦 (宇宙航空研究開発機構)  | 09:30           | <b>M01a</b> 日震学に基づく太陽モデルの構築とニュートリノフラックス<br>前田和宏 (東京大学)   |
| 11:12           | <b>L02a</b> 赤外線天文衛星「あかり」を用いた低アルベド小惑星の近赤外分光観測<br>岡村奈津子 (東京大学)          | 09:42           | <b>M02a</b> グローバルな太陽活動と惑星間空間構造変化の関係<br>柴崎清登 (国立天文台)  |
| 11:24           | <b>L03a</b> 海王星衛星 Nereid の光度変動観測<br>寺居 剛 (国立天文台)                      | 09:54           | <b>M03a</b> 日食のロシター効果を用いた太陽の差動回転の検出<br>大島 修 (岡山県立水島工業高等学校)   |
| 11:36           | <b>L04a</b> 電通大における木星衝突閃光の観測1<br>柳澤正久 (電気通信大学)                        | 10:06           | <b>M04a</b> 対流の自転角速度および緯度依存性と帯状流<br>政田洋平 (神戸大学)  |
| 11:48           | <b>L05a</b> 小惑星探査ミッション「はやぶさ2」の進捗状況<br>吉川 真 (宇宙航空研究開発機構)               | 10:18           | <b>M05a</b> 磁束浮上中のねじり生成機構に関する研究<br>堀田英之 (東京大学)   |
| 12:00           | <b>L06a</b> すざく衛星広帯域全天モニターで観測したイベントの地球上分布<br>大野雅功 (広島大学)              | 10:30           | <b>M06a</b> Magnetic Helicity as a Probe of Magnetic Flux-Tube Dynamics in the Solar Interior<br>桜井 隆 (国立天文台)        |
| 12:12           | <b>L07a</b> 円軌道運動する球状小天体の温度分布の逐次近似解法<br>関谷 実 (九州大学)                   | 10:42           | <b>M07b</b> Hinode ベクトルマグネトグラムを用いた極座標での NLFFF 計算について<br>山本哲也 (名古屋大学)   |
| 12:24           | <b>L08a</b> 微惑星弧状衝撃波によるコンドリュール形成条件<br>山崎布美香 (東京工業大学)                  | 10:42           | <b>M08b</b> ひので可視光磁場望遠鏡によって得られた太陽極域磁場分布の全体像<br>塩田大幸 (理化学研究所)   |
| 12:36           | <b>L09a</b> 初期太陽系における巨大惑星のトロヤ群天体の捕獲と解放<br>Petryk Sofia Lykawka (近畿大学) | 10:42           | <b>M09b</b> Polar Faculae and their association with Polar Magnetic Field<br>Anjali John Kaithakkal (SOKENDAI, NAOJ) |
| 12:48           | <b>L10b</b> 高軌道傾斜角を持つメインベルト小惑星の可視分光観測<br>岩井 彩 (神戸大学)                  | 10:54           | <b>M10b</b> 磁束浮上直前に見られる水平発散流の磁場強度・ねじれ強度依存性<br>鳥海 森 (東京大学)  |
| 12:48           | <b>L11b</b> はやぶさ2 探査候補天体 1999 JU3 の測光観測<br>黒田大介 (国立天文台)               | 10:54           | <b>M11b</b> 彩層蒸発ジェットの観測と数値計算の比較研究<br>松井悠起 (東京大学)   |
|                 | <b>L12c</b> 高感度デジタル一眼レフカメラによる流星痕の観測<br>戸田雅之 (日本流星研究会)                 |                 |  |

|                        |   |       |   |
|------------------------|---|-------|---|
| 10:54                  | <b>M12b</b> 活動領域彩層・超半暗部の磁場・速度場解析<br>大井瑛仁 (京都大学)                     | 14:30 | <b>M23a</b> 太陽光球磁場とスピキュールの関係について<br>飯島陽久 (東京大学)   |
| 11:06                  | <b>M13b</b> 野辺山電波ヘリオグラフ偏波観測による彩層磁場の導出<br>岩井一正 (国立天文台)               | 14:42 | <b>M24a</b> Determination of a prominence's magnetic field through observations of Rayleigh-Taylor plumes<br>Andrew Hillier (京都大学)        |
| 11:06                  | <b>M14b</b> 2.5次元磁気流体シミュレーションを用いた、Alfvén波によるコロナループ加熱<br>松本琢磨        |       | <b>M25c</b> Investigation of the Support of Prominence Material by Magnetic Dips in a Coronal Fluxtube<br>Andrew Hillier (京都大学)           |
| 11:06                  | <b>M15b</b> 太陽高エネルギー粒子：異方性と平均自由行程<br>久保勇樹 (情報通信研究機構)                |       | <b>M26c</b> Determining Prominence Magnetic Field Strength through Prominence Seismology Using Hinode SOT Data-2<br>Andrew Hillier (京都大学) |
| 11:18                  | <b>M16b</b> 「ひので」と「あかつき」電波掩蔽による太陽風共同観測と数値モデリングによる解釈<br>磯部洋明 (京都大学)  | 14:54 | <b>M27a</b> 浮上磁場に伴う彩層ジェットのスローショック加速機構<br>高棹真介 (京都大学)  |
| 11:18                  | <b>M17b</b> 太陽画像データに基づく太陽紫外線放射量の活動周期変動の推定と、超高層大気への影響<br>浅井 歩 (京都大学) | 15:06 | <b>M28a</b> 極端紫外線画像で観測される針状の擾乱伝播について<br>浅井 歩 (京都大学)   |
| <b>9月20日(木) 午後・D会場</b> |   | 15:18 | <b>M29a</b> 極域コロナホールで発生した爆発現象と周囲の磁場構造との比較研究<br>佐古伸治 (総合研究大学院大学 / 国立天文台)   |
| 13:30                  | <b>M18a</b> 次世代太陽観測衛星 SOLAR-C の最新検討状況<br>清水敏文 (宇宙航空研究開発機構)          |       |   |
| 13:42                  | <b>M19a</b> 金星探査機「あかつき」に対する太陽高エネルギー粒子被ばくの評価<br>羽田裕子 (京都大学)          |       |   |
| 13:54                  | <b>M20a</b> 飛騨天文台 SMART-T4 望遠鏡による光球磁場観測の成果報告 2<br>森田 諭 (京都大学)       |       |   |
| 14:06                  | <b>M21a</b> 太陽光球面磁極寿命の頻度分布、磁束依存性とその理解<br>飯田佑輔 (東京大学)                |       |   |
| 14:18                  | <b>M22a</b> 超解像手法による「ひので」フィルターグラフデータの解析<br>末松芳法 (国立天文台)             |       |   |



| 9月21日(金) 午前・D会場 |  | 9月21日(金) 午後・D会場 |  |
|-----------------|--|-----------------|--|
| 09:30           | <b>M30a</b> ひので EIS によって観測された M クラスフレア初期における彩層蒸発の空間構造<br>北川直優 (東京大学) | 13:30           | <b>M40a</b> コロナ中の衝撃波に伴うプロミネンス振動の磁気流体シミュレーション<br>西田圭佑 (京都大学)                            |
| 09:42           | <b>M31a</b> 太陽フレアにおける彩層蒸発流の統計的解析<br>青木邦哉 (東京大学)                      | 13:42           | <b>M41a</b> 2011年12月25日に起きたフィラメント消失 / 噴出現象の多波長観測<br>矢治健太郎 (立教大学)                       |
| 09:54           | <b>M32a</b> 太陽フレアのトリガ機構について<br>草野完也 (名古屋大学)                          | 13:54           | <b>M42a</b> モートン波発生とフィラメント噴出の角度依存性<br>玉澤春史 (京都大学)                                      |
| 10:06           | <b>M33a</b> 太陽フレアの規模と黒点群の大きさの関係について<br>石井貴子 (京都大学)                   | 14:06           | <b>M43a</b> すざく衛星広帯域全天モニタと RHESSI 衛星による太陽マイクロフレアの硬 X 線観測<br>石川真之介 (国立天文台)              |
| 10:18           | <b>M34a</b> 太陽浮上磁場出現に伴うプラズマ放出現象の 2.5 次元シミュレーション<br>金子岳史 (東京大学)       | 14:18           | <b>M44a</b> Hinode/EIS と野辺山電波ヘリオグラフを用いたフレアの非熱的放射強度の比較研究<br>川手朋子 (国立天文台)                |
| 10:30           | <b>M35a</b> MHD シミュレーションによるポスト・フレアループの 3 次元構造に関する研究<br>中村尚樹 (京都大学)   | 14:30           | <b>M45a</b> 非熱的マイクロ波放射が極端に強い太陽フレア<br>増田 智 (名古屋大学)                                      |
| 10:42           | <b>M36a</b> リム X クラスフレアにおける EIS で観測した高速流<br>今田晋亮 (国立天文台)             | 14:42           | <b>M46a</b> Fe <sub>xVII</sub> 204.6 Å / 254.8 Å 輝線強度分岐比 - EIS と LHD -<br>渡邊鉄哉 (国立天文台) |
| 10:54           | <b>M37a</b> 太陽フレア中に観測される磁気リコネクションアウトフローの特徴<br>原 弘久 (国立天文台)           | 14:54           | <b>M47a</b> 太陽活動極小期における 0.5 - 4 Å の増光現象について<br>山本哲也 (名古屋大学)                            |
| 11:06           | <b>M38a</b> 2012年3月7日の X5.4 フレアに伴う噴出現象・コロナ擾乱現象の解析<br>高橋卓也 (京都大学)     |                 |  |
| 11:18           | <b>M39a</b> 2011年8月9日の巨大フレアに伴うコロナ擾乱現象と、噴出現象について<br>福岡隆敏 (京都大学)       |                 |  |

## N. 恒星

| 9月19日(水) 午前・B会場 |  | 9月19日(水) 午後・B会場        |   |
|-----------------|--|------------------------|---|
| 11:00           | <b>N01a</b> 階層的銀河系形成説による r プロセス<br>元素の非一様化学進化<br>石丸友里 (国際基督教大学)              | 12:24                  | <b>N13a</b> RV Tau 型変光星 U Mon の高分散分<br>光観測<br>橋本 修 (群馬県立ぐんま天文台)                                 |
| 11:12           | <b>N02a</b> 恒星進化・連星進化を用いた初期質<br>量関数の推定<br>須田拓馬 (国立天文台)                       | 12:36                  | <b>N14a</b> 銀河系バルジの II 型セフィイドの性質<br>と進化<br>松永典之 (東京大学)  |
| 11:24           | <b>N03a</b> 金属欠乏星の He I 10830 Å 線に基<br>づく彩層<br>比田井昌英 (東海大学)                  | 12:48                  | <b>N15a</b> 「あかり」による褐色矮星の近赤外線<br>分光観測 VIII. スペクトル型に対する褐<br>色矮星の半径の変化<br>空華智子 (宇宙航空研究開発機構)       |
| 11:36           | <b>N04a</b> Be 星の星周円盤の生成<br>石松宏幸 (東京大学)                                      | <b>9月19日(水) 午後・B会場</b> |   |
| 11:48           | <b>N05a</b> スーパーフレアを頻発する太陽型星の<br>発見<br>柴山拓也 (京都大学)                           | 15:00                  | <b>N16a</b> 極めて金属量の低い星形成ガス雲中<br>でのダストの成長と低質量星の形成<br>野沢貴也 (東京大学)                                 |
| 12:00           | <b>N06a</b> 星フレアと銀河リッジ X 線放射の起源<br>松岡 勝 (理化学研究所)                             | 15:12                  | <b>N17a</b> Luminous Molecular Hydrogen in the<br>Galactic Halo PN H4-1<br>田実晃人 (国立天文台)         |
| 12:12           | <b>N07b</b> 晩期型星 $\theta_1$ Orionis E のフレア観測<br>清水佑輔 (立教大学)                  | 15:24                  | <b>N18a</b> $\eta$ Carinae Homunculus Nebula におけ<br>る定常的なダスト形成量の推定<br>中村友彦 (東京大学)               |
| 12:12           | <b>N08b</b> 矮小楕円銀河 NGC 147 および NGC<br>185 における炭素星の質量放出率<br>福士比奈子 (東京大学)      | 15:36                  | <b>N19a</b> Dramatic infrared variability of WISE<br>J180956.27 - 330500.2<br>山村一誠 (宇宙航空研究開発機構) |
| 12:12           | <b>N09b</b> 系内 Wolf-Rayet 星の X 線帯域におけ<br>る統計的調査 II<br>菅原泰晴 (中央大学)            |                        |   |
|                 | <b>N10c</b> 短周期 W UMa 型連星系 V523 Cas の<br>JHKs 測光<br>鳴沢真也 (兵庫県立大学西はりま<br>天文台) |                        |   |
|                 | <b>N11c</b> 食連星 FR Ori の変光解析<br>中村泰久 (福島大学)                                  |                        |   |
|                 | <b>N12c</b> VERA によるミラ型変光星の周期光度<br>関係の確立<br>中川亜紀治 (鹿児島大学)                    |                        |   |

## P. 星・惑星形成

| 9月19日(水) 午前・H会場 |  | 9月19日(水) 午後・H会場        |  |
|-----------------|--|------------------------|--|
| 11:00           | <b>P101a</b> 原始星コアの分子輝線マッピング観測<br>清兼和紘 (東京大学)                                      | 13:00                  | <b>P113b</b> 内縁をもつ原始惑星系円盤での散乱・吸収・再放射<br>菅野裕次 (千葉大学)                                  |
| 11:12           | <b>P102a</b> 分子流と高密度ガスとの相互作用領域 OMC2-FIR4 に対するラインサーベイ観測<br>島尻芳人 (国立天文台)             | 13:12                  | <b>P114b</b> 原始惑星系円盤からの水分子輝線<br>野村英子 (京都大学)  |
| 11:24           | <b>P103a</b> Class-0/I 天体 [BHB2007]#11 の回転する envelope と双極分子流<br>原 千穂美 (東京大学/国立天文台) | 13:12                  | <b>P115b</b> 原始惑星系円盤の化学進化における円盤風の影響: 分子輝線への影響<br>石本大貴 (京都大学)                         |
| 11:36           | <b>P104a</b> 星団形成過程における原始星アウトフローの力学的役割<br>栗津友哉 (大阪府立大学)                            | 13:12                  | <b>P116b</b> 古典的 T タウリ型星に付随するウインドの密度と温度の推定<br>井口尚人 (神戸大学)                            |
| 11:48           | <b>P105a</b> Class 0 原始星の中性炭素観測<br>立原研悟 (JAO/国立天文台)                                | <b>9月19日(水) 午後・H会場</b> |  |
| 12:00           | <b>P106a</b> ミリ波サブミリ波で探る Transient Disk 候補天体 Sz 91 の星周構造<br>塚越 崇 (茨城大学)            | 15:00                  | <b>P117a</b> 低質量原始星形成に伴う重水素濃縮度変化<br>柴田大輝 (東京大学)                                      |
| 12:12           | <b>P107a</b> SEEDS による遷移円盤天体 PDS 70 の空洞構造の高解像度偏光観測<br>橋本 淳 (国立天文台)                 | 15:12                  | <b>P118a</b> L1527 におけるスペクトル線サーベイ(3)<br>徳留智矢 (東京大学)                                  |
| 12:24           | <b>P108a</b> SEEDS プロジェクトによる原始惑星系円盤の偏光撮像観測<br>工藤智幸 (国立天文台)                         | 15:24                  | <b>P119a</b> The Shock Chemistry of the EHV Outflow from L1448 C(N)<br>山口貴弘 (東京大学)   |
| 12:36           | <b>P109a</b> 原始星形成、星周円盤の進化過程における加熱、冷却過程の重要性について<br>塚本裕介 (名古屋大学)                    | 15:36                  | <b>P120a</b> ALMA cycle 0 におけるオリオン KL 領域の観測<br>廣田朋也 (国立天文台)                          |
| 12:48           | <b>P110a</b> ダストのない降着円盤の光蒸発率<br>田中 圭 (京都大学)  | 15:48                  | <b>P121a</b> 大質量原始星 G353.273+0.641 に対する原始星ジェット観測<br>元木業人 (山口大学)                      |
| 13:00           | <b>P111b</b> M 1モデルによる原始惑星系円盤の輻射平衡モデル<br>原田哲弥 (千葉大学)                               | 16:00                  | <b>P122a</b> 日韓合同 VLBI 観測による 44GHz 帯 CH <sub>3</sub> OH メーザー源のイメージング<br>松本尚子 (国立天文台) |
| 13:00           | <b>P112b</b> 大質量星近傍での原始惑星系円盤の光蒸発<br>本山一隆 (国立情報学研究所)                                | 16:12                  | <b>P123a</b> 星形成領域 GPSR 034.258+0.155 の年周視差測定<br>倉山智春 (帝京科学大学)                       |
|                 |  | 16:24                  | <b>P124b</b> Recent galactic studies with ALMA<br>秋山永治 (国立天文台)                       |

|                        |   |       |  |
|------------------------|---|-------|--|
| 16:24                  | <b>P125b</b> ATCA を用いた 6.7GHz メタノール・メーザーのイメージングサーベイ<br>杉山孝一郎 (山口大学)                                       | 10:42 | <b>P136a</b> 近傍の赤外線暗黒星雲 Serpens South 領域の高密度ガス分布<br>田中智博 (大阪府立大学)                                |
| 16:24                  | <b>P126b</b> Internal Proper Motion of 6.7 GHz Methanol Masers in a HII Region S269<br>澤田 - 佐藤 聡子 (国立天文台) | 10:54 | <b>P137a</b> 大質量星形成領域 M8E の長中間赤外線での観測<br>内山瑞穂 (東京大学)   |
|                        | <b>P127c</b> VERA 石垣島局による EGO 天体の新しいメーザーの発見<br>外間一輝 (琉球大学)  | 11:06 | <b>P138b</b> 1.85m 電波望遠鏡による Cygnus X 領域の分子雲観測<br>小島義晴 (大阪府立大学)                                   |
|                        | <b>P128c</b> メタノールメーザーによる大質量星の形成シナリオの検証<br>志野 渚 (総合研究大学院大学)   | 11:06 | <b>P139b</b> へびつかい座分子雲における深い近赤外撮像観測<br>大朝由美子 (埼玉大学)  |
|                        | <b>P129c</b> 星なしコア TMC-1、Lupus1-A における重水素濃縮度<br>西村優里 (東京大学)   | 11:06 | <b>P140b</b> ブライトリム分子雲の近赤外偏光撮像観測<br>楠根貴成 (名古屋市立大学)   |
| <b>9月20日(木) 午前・H会場</b> |   |       | <b>P141c</b> 星形成領域 CMaR1 のリム領域における $H\alpha$ 輝線星観測<br>笠置翔太 (大分大学)                                |
| 09:30                  | <b>P130a</b> 1.85 m 電波望遠鏡による銀河面分子雲の広域探査 II<br>徳田一起 (大阪府立大学)   |       | <b>P142c</b> Near-Infrared Imaging Polarimetry of Orion A Molecular Cloud<br>Sukom Amnart (GUAS) |
| 09:42                  | <b>P131a</b> 1.85m 電波望遠鏡による牡牛座暗黒星雲の広域分子雲観測<br>橋詰章雄 (大阪府立大学)   |       |  |
| 09:54                  | <b>P132a</b> 1.85m 電波望遠鏡によるオリオン分子雲の広域観測 (II)<br>西村 淳 (大阪府立大学)   |       |  |
| 10:06                  | <b>P133a</b> 前主系列星 V773 Tau の多波長同時観測 II : 電波観測<br>梅本智文 (国立天文台)  |       |  |
| 10:18                  | <b>P134a</b> 前主系列星 V773 Tau の多波長同時観測 III : X 線、光赤外観測<br>飯塚 亮 (中央大学)                                       |       |  |
| 10:30                  | <b>P135a</b> W4 に付随する BRC5 における集団的星形成とモデル<br>福田尚也 (岡山理科大学)  |       |  |

| 9月20日(木) 午後・H会場  | 9月21日(金) 午前・H会場   |
|--|---|
| 13:30 <b>P143a</b> CCS ゼーマン分裂による星なし分子雲コアの磁場強度測定計画<br>中村文隆 (国立天文台)  | 09:30 <b>P154a</b> 分子雲衝突によって誘発された大質量星形成1: 全体像<br>鳥居和史 (名古屋大学)   |
| 13:42 <b>P144a</b> 赤外線暗黒星雲 Serpens South Cloudの磁場構造<br>杉谷光司 (名古屋市立大学)  | 09:42 <b>P155a</b> 分子雲衝突によって誘発された大質量星形成2 Spitzer バブル S116とN018に付随する分子雲<br>曾我 翔 (名古屋大学)                |
| 13:54 <b>P145a</b> 振動する磁気分子雲でのコア形成<br>工藤哲洋 (国立天文台)   | 09:54 <b>P156a</b> 分子雲衝突によって誘発された大質量星形成3 S167とN19に付随する分子雲<br>清水茂樹 (名古屋大学)                             |
| 14:06 <b>P146a</b> Godunov Smoothed Particle Magnetohydrodynamics 法への Hyperbolic Divergence Cleaning 法と Particle Rezoning 法の実装<br>岩崎一成 (名古屋大学) | 10:06 <b>P157a</b> 分子雲衝突によって誘発された大質量星形成4: Spitzer バブル RCW120(S7)とRCW82(S137)に付随する分子雲<br>長谷川敬亮 (名古屋大学) |
| 14:18 <b>P147a</b> 3次元 MHD シミュレーションで探る分子雲の物理状態<br>井上剛志 (青山学院大学)  | 10:18 <b>P158a</b> 分子雲衝突によって誘発された大質量星形成5 スーパースタークラスター RCW38<br>大濱晶生 (名古屋大学)                           |
| 14:30 <b>P148a</b> フィラメント状分子雲の形成メカニズムについて<br>犬塚修一郎 (名古屋大学)   | 10:30 <b>P159a</b> 分子雲衝突によって誘発された大質量星形成6: スーパースタークラスター [DBS2003]179<br>水野範和 (国立天文台)                   |
| 14:42 <b>P149a</b> 高い降着率の下で進化する原始星の脈動不安定性<br>稲吉恒平 (京都大学)   | 10:42 <b>P160a</b> 分子雲衝突によって誘発された大質量星形成7: 大質量星・星団形成における困難の統一的な解決<br>福井康雄 (名古屋大学)                      |
| 14:54 <b>P150a</b> 超大降着率下での原始星形成: Supergiant Protostars<br>細川隆史 (JPL/Caltech)  | 10:54 <b>P161a</b> Enzo code を用いた分子雲衝突の3次元高解像度シミュレーション<br>高平 謙 (北海道大学)                                |
| 15:06 <b>P151a</b> 初代星の初期質量: 始原的星形成ガス雲の統計的性質<br>平野信吾 (東京大学)  | 11:06 <b>P162a</b> 「なんてん」銀河面サーベイによる spiral arm 中の分子雲の速度分散測定と Spitzer バブルとの比較<br>中島大智 (名古屋大学)          |
| <b>P152c</b> Collapse and Fragmentation of a Primordial Filamentary Cloud Revisited<br>釣部 通 (大阪大学)   |   |
| <b>P153c</b> 初代星周りの円盤形成と磁場の効果<br>町田正博 (九州大学)   |   |

| 9月20日(木) 午後・I会場 |  |
|-----------------|--|
| 13:30           | <b>P201a</b> ドップラー法による3～4M <sub>☉</sub> の中質量巨星における惑星探索<br>大宮正士(東京工業大学)                         |
| 13:42           | <b>P202a</b> トランジット惑星系のロシター効果：<br>HARPS型分光器の場合のモデル化<br>平野照幸(東京大学)                              |
| 13:54           | <b>P203a</b> SEEDSによる散開星団での系外惑星<br>探査3<br>山本広大(大阪大学)   |
| 14:06           | <b>P204a</b> MOA-IIによる系外惑星探査：2012年<br>の経過報告<br>住 貴宏(大阪大学)                                      |
| 14:18           | <b>P205a</b> MOA-IIによる惑星の存在確率への制限<br>鈴木大介(大阪大学)  |
| 14:30           | <b>P206a</b> 重力マイクロレンズサーベイ観測に<br>よる惑星イベント候補の発見：MOA-<br>2008-BLG-288<br>滝野 奨(名古屋大学)             |
| 14:42           | <b>P207a</b> 惑星を伴う重力マイクロレンズイベント<br>MOA 2008-BLG-379<br>鈴木浩太(名古屋大学)                             |
| 14:54           | <b>P208b</b> 系外惑星検出のための分光連星系の<br>高精度軌道決定<br>加藤則行(神戸大学)   |
| 14:54           | <b>P209b</b> 岡山/HIDESによる中質量GK型巨星<br>を周回する新たな惑星系の発見<br>佐藤文衛(東京工業大学)                             |
| 14:54           | <b>P210b</b> 磁気乱流付随電場によるオームの法<br>則の非線形化と電流の進化<br>奥住 聡(名古屋大学)                                   |
| 15:06           | <b>P211b</b> 原始惑星系円盤の非一様密度分布が作<br>るダスト濃集領域の進化とその最大密度<br>瀧 哲朗(東京工業大学)                           |
| 15:06           | <b>P212b</b> 原始惑星系円盤における shear 不安<br>定成長率とダストサイズ分布<br>長谷川幸彦(大阪大学)                              |
| 15:06           | <b>P213b</b> 原始惑星系円盤におけるダスト層の乱<br>流シミュレーション<br>石津尚喜(国立天文台)                                     |
| 15:18           | <b>P214b</b> 水素大気をまとった super-Earth の大<br>気散逸進化：惑星質量、軌道長半径、<br>中心星スペクトルタイプへの依存性<br>黒川宏之(東京工業大学) |
| 15:18           | <b>P215b</b> 磁場を持つホットジュピターにおけるオ<br>ーム加熱と大気散逸<br>田中佑希(名古屋大学)                                    |

| 9月21日(金) 午前・I会場   | 9月21日(金) 午後・I会場   |
|---|---|
| 09:30 <b>P216a</b> すばる IRD によるサイエンス : サイエンス検討のまとめと今後の計画<br>佐藤文衛 (東京工業大学)      | 13:30 <b>P226a</b> 微惑星集積に対する微惑星連星の影響<br>小南淳子 (国立天文台)  |
| 09:42 <b>P217a</b> 地球型惑星検出のためのすばる赤外線ドップラー分光器 IRD の開発 : 4<br>小谷隆行 (国立天文台)      | 13:42 <b>P227a</b> 恒星遭遇によるオールト雲の破壊とそのタイムスケール<br>樋口有理可 (東京工業大学)  |
| 09:54 <b>P218a</b> M 型星周りでの低質量惑星の形成とハビタビリティ、赤外ドップラー観測に向けて<br>押野翔一 (国立天文台)     | 13:54 <b>P228a</b> 磁気回転安定なガス円盤の質量降着メカニズムについて<br>藤井悠里 (名古屋大学)  |
| 10:06 <b>P219a</b> あかりと IRSF によるデブリ円盤の探査<br>石原大助 (名古屋大学)                      | 14:06 <b>P229a</b> 複数系外惑星系の不安定性と軌道進化<br>長沢真樹子 (東京工業大学)  |
| 10:18 <b>P220a</b> 彗星衝突がガス惑星の大気進化に与える影響 一電波望遠鏡を用いた観測的アプローチから一<br>飯野孝浩 (名古屋大学) | 14:18 <b>P230a</b> Numerical study of orbit-crossing timescales of multi-planet systems<br>Yuxin Xue (東京大学) |
| 10:30 <b>P221a</b> 原始惑星系円盤の重力不安定性に対する実効的粘性の効果について<br>高橋実道 (名古屋大学)             | 14:30 <b>P231a</b> 短周期系外惑星の大気散逸と熱進化 : CoRoT-7b と Kepler-10b への応用<br>黒川宏之 (東京工業大学)                           |
| 10:42 <b>P222a</b> 原始惑星系円盤における大局磁場の移流拡散<br>竹内 拓 (東京工業大学)                      | 14:42 <b>P232a</b> 中間質量星周りの惑星分布 : ホットジュピターの起源への示唆<br>堀 安範 (国立天文台)   |
| 10:54 <b>P223a</b> 1次元粘性円盤モデルを用いた巨大ガス惑星による円盤インナーホール形成過程の解明<br>金川和弘 (北海道大学)    | 14:54 <b>P233a</b> 低密度スーパーアースの組成と起源の系統的理解に向けて<br>生駒大洋 (東京大学)  |
| 11:06 <b>P224a</b> ダストに働く揚力の効果<br>木村成生 (大阪大学)                                 |   |
| 11:18 <b>P225a</b> ダストの成長・内部密度進化に伴う原始惑星形円盤のオパシティ進化<br>奥住 聡 (名古屋大学)            |   |

## Q. 星間現象

| 9月20日(木) 午前・B会場 |  | 9月20日(木) 午後・B会場 |  |
|-----------------|--|-----------------|--|
| 09:30           | <b>Q01a</b> ALMAで探る近傍銀河のエネルギー源<br>泉 拓磨 (東京大学)                                  | 11:30           | <b>Q13b</b> オリオン KL 領域における水メーザー<br>アウトバーストの偏波計測<br>水野いづみ (鹿児島大学)                       |
| 09:42           | <b>Q02a</b> 小マゼラン雲中の巨大分子雲に対する<br>ミリ波・サブミリ波 CO 輝線観測<br>南谷哲宏 (北海道大学)             | 11:42           | <b>Q14b</b> 星形成領域 NGC2264 の年周視差計測<br>亀崎達矢 (鹿児島大学)                                      |
| 09:54           | <b>Q03a</b> 大マゼラン雲の Supergiant Shell に付<br>随する星形成領域 N48,49 の観測<br>藤井浩介 (東京大学)  | 11:42           | <b>Q15b</b> Diffuse Galactic Light の可視光多波<br>長観測<br>家中信幸 (東京大学)                        |
| 10:06           | <b>Q04a</b> ASTE10m 望遠鏡による銀河系中心<br>HCN J=4-3 サーベイ<br>田中邦彦 (慶応義塾大学)             | 11:42           | <b>Q16b</b> 「あかり」中間・遠赤外線観測が明ら<br>かにした三裂星雲 M20 周辺の星間物<br>質の物理状態<br>安田晃子 (名古屋大学)         |
| 10:18           | <b>Q05a</b> $N_2H^+$ J=1-0 輝線による銀河系中心分<br>子層 OTF マッピング観測 (II)<br>西川綾乃 (慶應義塾大学) | 11:54           | <b>Q17b</b> 「あかり」中間赤外線全天観測による、<br>高銀緯領域に広がった PAH 放射成分<br>の検出<br>近藤 徹 (名古屋大学)           |
| 10:30           | <b>Q06a</b> NANTEN2 の広域観測による Central<br>Molecular Zone の詳細解析<br>榎谷玲依 (名古屋大学)   |                 | <b>Q18c</b> 矮小銀河における超希薄プラズマの<br>存在可能性<br>釜谷秀幸 (防衛大学校)                                  |
| 10:42           | <b>Q07a</b> 二重らせん星雲に付随する分子タワー<br>形成の磁気流体数値実験<br>朝比奈雄太 (千葉大学)                   |                 | <b>Q19c</b> すざく衛星搭載 WAM によるかに星雲<br>の軟 $\gamma$ 線長期地食観測<br>河野貴文 (広島大学)                  |
| 10:54           | <b>Q08a</b> 「あかり」遠赤外線観測で明らかにな<br>った銀河中心のダストの特異な性質<br>金田英宏 (名古屋大学)              |                 |  |
| 11:06           | <b>Q09a</b> 銀河系中心の近赤外線観測による星<br>分布と X 線分布の比較<br>安井一樹 (京都大学)                    |                 |  |
| 11:18           | <b>Q10a</b> すざく衛星による銀河系中心領域の南<br>側に広がるプラズマ放射の観測<br>中島真也 (京都大学)                 | 13:30           | <b>Q20a</b> $HCO^+$ J=1-0, CO J=3-2 輝線による<br>SNR W44 の膨張運動の解析 (II)<br>指田朝郎 (慶應義塾大学)    |
| 11:30           | <b>Q11b</b> 高密度ガスのトレーサーで探る銀河の<br>エネルギー源<br>泉 拓磨 (東京大学)                         | 13:42           | <b>Q21a</b> TeV $\gamma$ 線超新星残骸 HESS J1731-<br>347 における $\gamma$ 線放射起源<br>福田達哉 (名古屋大学) |
| 11:30           | <b>Q12b</b> 銀河のラインサーベイ観測 V: 炭素を<br>含む分子の存在量比較<br>中島 拓 (名古屋大学)                  | 13:54           | <b>Q22a</b> 超新星残骸 RX J0852.0-4622 にお<br>ける星間ガスと X 線放射<br>佐野栄俊 (名古屋大学)                  |
|                 |  | 14:06           | <b>Q23a</b> 若いガンマ線超新星残骸の X 線とガ<br>ンマ線の比較<br>早川貴敬 (名古屋大学)                               |



|       |   |                        |  |
|-------|---|------------------------|--|
|       |   | <b>9月21日(金) 午前・B会場</b> |  |
| 14:18 | <b>Q24a</b> Middle-aged SNR W44 における星間ガスと GeV ガンマ線放射<br>吉池智史 (名古屋大学)                        | 09:30                  | <b>Q34a</b> 超新星残骸 G330.2+1.0 における電子の加速限界の推定と熱的成分の探査<br>村上浩章 (東京大学)   |
| 14:30 | <b>Q25a</b> 超新星残骸 RCW86 における星間ガスと TeV ガンマ線放射<br>古川尚子 (名古屋大学)                                | 09:42                  | <b>Q35a</b> すざく衛星による超新星残骸 3C397 の観測<br>菅原隆介 (京都大学)   |
| 14:42 | <b>Q26a</b> 「すざく」衛星による超新星残骸 W51C の観測 (2)<br>花畑義隆 (広島大学)                                     | 09:54                  | <b>Q36a</b> すざく衛星による超新星残骸 G349.7+0.2 の観測<br>八隅真人 (京都大学)  |
| 14:54 | <b>Q27a</b> Suzaku 衛星による超新星残骸 Vela Jr. シンクロトロンX線放射の観測<br>福山太郎 (宇宙航空研究開発機構)                  | 10:06                  | <b>Q37a</b> 高マッハ数の準平行無衝突衝撃波でのイオン加速<br>加藤恒彦 (広島大学)  |
| 15:06 | <b>Q28b</b> IRSF と「あかり」による超新星残骸 IC443 の鉄輝線とダストの広域観測<br>國生拓摩 (名古屋大学)                         | 10:18                  | <b>Q38a</b> 2次元超高マッハ数衝撃波におけるプラズマ不安定性<br>松本洋介 (千葉大学)  |
| 15:06 | <b>Q29b</b> すざく衛星による超新星残骸 Cygnus Loop 「西の破れ」領域の観測<br>米森愛美 (大阪大学)                            | 10:30                  | <b>Q39a</b> 白鳥座ループ超新星残骸中のパルサー一星雲候補の発見<br>勝田 哲 (理化学研究所)   |
| 15:06 | <b>Q30b</b> 無衝突磁気リコネクションの内部領域の衛星プラズマ観測<br>銭谷誠司 (国立天文台)                                      | 10:42                  | <b>Q40a</b> パルサー一星雲の球対称モデルと輝度分布<br>田中周太 (青山学院大学)   |
| 15:18 | <b>Q31b</b> MAXI/GSC の非 X 線バックグラウンドのモデル化と広がった放射源の強度分布の測定<br>志達めぐみ (京都大学)                    | 10:54                  | <b>Q41a</b> MAXI/SSC を用いた Diffuse emission の観測<br>木村 公 (大阪大学)  |
| 15:18 | <b>Q32b</b> Super Star Cluster Westerlund 1 の近傍のパルサー PSR J1648-4611 の X 線観測<br>酒井理人 (名古屋大学) | 11:06                  | <b>Q42a</b> Tornado Nebula に付随する分子雲方向の $^{12}\text{CO}$ , $^{13}\text{CO}$ スペクトル線データの詳細解析<br>酒井大裕 (慶応義塾大学)   |
|       | <b>Q33c</b> 電波再結合線による銀河中心ローブの観測 2<br>名越 遥 (山口大学)  | 11:18                  | <b>Q43a</b> Abundance and Excitation Mechanism of Methyl Formate ( $\text{HCOOCH}_3$ ) in the Second Torsionally Excited State ( $v_t = 2$ ) in Orion KL<br>高野秀路 (国立天文台) |
|       |   | 11:30                  | <b>Q44a</b> $\text{NH}_3$ が見えない暗黒星雲コアでの CCS と $\text{HC}_3\text{N}$ の観測<br>鈴木大輝 (総合研究大学院大学)  |
|       |   |                        | <b>Q45c</b> 統計平衡計算による OH 分子の基底状態遷移の解析<br>猪熊宏士 (東京大学)   |

## R. 銀河

| 9月21日(金) 午後・B会場   | 9月19日(水) 午前・F会場  |
|---|--|
| 13:30 <b>Q46a</b> プランク衛星と超広域前景分子雲観測による宇宙背景放射の研究7: Planck CO 地図と NASCO CO 地図との比較<br>山本宏昭 (名古屋大学) | 11:00 <b>R01a</b> VERA によるペルセウス座腕星形成領域 IRAS21379+5106 の年周視差測定<br>中西裕之 (鹿児島大学)                      |
| 13:42 <b>Q47a</b> スタック解析による銀河系減光地図中の系外銀河起源遠赤外放射の検出<br>柏木俊哉 (東京大学)                               | 11:12 <b>R02a</b> はくちょう座バブル領域にある星形成領域 IRAS20143+3634 の VERA 位置天文観測と銀河内特異運動<br>半田利弘 (鹿児島大学)         |
| 13:54 <b>Q48a</b> 星間ガスの熱的不安定性<br>青田拓大 (神戸大学)  | 11:24 <b>R03b</b> VERA を用いた銀河系外縁部回転曲線 III: ペルセウスアームとインターアームにおける非円運動の比較<br>坂井伸行 (総合研究大学院大学 / 国立天文台) |
| 14:06 <b>Q49a</b> 始原ガス中における化学反応と放射冷却 1<br>千秋 元 (東京大学)   | 11:24 <b>R04b</b> 銀河系最外縁の星生成領域 Cloud1 周辺の CO 分子雲探査<br>泉 奈都子 (東京大学)                                 |
| 14:18 <b>Q50a</b> PNG095.2+00.7 における中間赤外線スペクトルの空間変化<br>大澤 亮 (東京大学)                              | 11:24 <b>R05b</b> Magellanic-type galaxy の構造を用いたパターン速度の決定手法<br>清水貴治 (東京大学)                         |
| 14:30 <b>Q51a</b> GIGMICS を用いた惑星状星雲 NGC7027 における [S IV] 禁制発光遷移の高分散分光観測<br>青木慶伸 (名古屋大学)          | 11:36 <b>R06a</b> 銀河系ハローにおける Blue Horizontal Branch Stars の平均回転運動<br>服部公平 (東京大学)                   |
| 14:42 <b>Q52a</b> 赤外線継続観測に基づく新星 V1280Sco 周囲でのダスト形成史 (2)<br>左近 樹 (東京大学)                          | 11:48 <b>R07b</b> 球対称等温定常銀河風の加速過程に与えるダークマターと星の質量分布の影響<br>五十嵐朱夏 (筑波大学)                              |
| 14:54 <b>Q53a</b> 「あかり」遠赤外線拡散光全天マッピング X (全天画像一般公開)<br>土井靖生 (東京大学)                               | 11:48 <b>R08b</b> M 83 における $^{13}\text{CO}(J=3-2)$ 輝線の OTF 広域マッピング観測<br>馬路博之 (大阪府立大学)             |
|   | 11:48 <b>R09b</b> 銀河の速度場を考慮に入れた CO スタッキング解析<br>松井佳菜 (国立天文台)  |
|   | <b>R10c</b> 渦巻銀河における渦状腕の構造とガスの運動<br>梅井迪子 (北海道大学)   |
|   | <b>R11c</b> 銀河の Inner Truncated Disk の統計的性質<br>隈井泰樹 (熊本学園大学)                                       |

|  |   |   |
|--|---|---|
|  | <p>12:00 <b>R12b</b> Star formation activities among galactic structures<br/>百瀬莉恵子 (東京大学)</p> <p>12:00 <b>R13b</b> Recent extragalactic studies with ALMA<br/>Daniel Espada (国立天文台)</p> <p>12:00 <b>R14b</b> Observational study of new SDSS gravitationally lensed quasars with the Subaru Telescope Adaptive Optics<br/>Rusu Cristian Eduard (The University of Tokyo)</p> <p>12:12 <b>R15a</b> 「あかり」近赤外線分光観測で探る星形成銀河の PAH 3.3 <math>\mu\text{m}</math> 放射環境<br/>山田梨加 (名古屋大学)</p> <p>12:24 <b>R16b</b> 「あかり」近赤外線分光観測で探る、近傍銀河における星間氷の吸収とダスト減光の関係<br/>山岸光義 (名古屋大学)</p> <p>12:24 <b>R17b</b> 近傍高光度赤外線銀河の Pa<math>\alpha</math> 輝線狭帯域撮像サーベイプロジェクト II<br/>館内 謙 (東京大学)</p> <p>12:24 <b>R18b</b> あかり 2.5-5.0 <math>\mu\text{m}</math> 分光観測による赤外線銀河中の埋もれた活動銀河核の探査<br/>市川幸平 (京都大学)</p> | <p><b>9月19日(水) 午後・F会場</b></p> <p>15:00 <b>R19a</b> M31 ハローを漂う巨大ブラックホール探査: 衝突銀河の突入軌道への制限<br/>三木洋平 (筑波大学)</p> <p>15:12 <b>R20a</b> アンドロメダストリームの非対称構造と母矮小銀河の内部構造<br/>桐原崇亘 (筑波大学)</p> <p>15:24 <b>R21a</b> 京速計算機による無衝突系重力多体シミュレーション<br/>石山智明 (筑波大学)</p> <p>15:36 <b>R22a</b> 非熱的粒子を考慮した円盤ダイナモの3次元磁気流体計算<br/>工藤祐己 (千葉大学)</p> <p>15:48 <b>R23a</b> 銀河ガス円盤ダイナモの初期磁場構造依存性について<br/>町田真美 (九州大学)</p> <p><b>R24c</b> 螺旋磁場モデルから得られる銀河系の Rotation Measure 分布<br/>小澤武揚 (明星大学)</p> <p>16:00 <b>R25a</b> 宇宙流体実験 - 新たな流体モデルによる渦巻銀河の解析について -<br/>津田裕也 (明星大学)</p> |
|--|---|---|

## S. 活動銀河核

| 9月19日(水) 午前・I会場 |   | 9月19日(水) 午後・I会場 |   |
|-----------------|---|-----------------|---|
| 11:00           | <b>S01a</b> TA 実験 1: 極高エネルギー宇宙線の粒子種とエネルギースペクトル<br>藤井俊博 (大阪市立大学)   | 12:48           | <b>S11b</b> 未同定高エネルギー天体 RX J2056.6+4940 の多波長観測<br>和田師也 (宇宙航空研究開発機構)   |
| 11:12           | <b>S02a</b> TA 実験 2: テレスコープアレイ実験で測定した極高エネルギー宇宙線の異方性の研究<br>木戸英治 (東京大学)   | 12:48           | <b>S12b</b> RadioAstron スペース VLBI : Early Science Program への貢献<br>朝木義晴 (宇宙航空研究開発機構)                                       |
| 11:24           | <b>S03a</b> Gamma-rays as a diagnostic of the origin of core radiation in low-luminosity active galactic nuclei<br>高見 一 (高エネルギー加速器研究機構) | 15:00           | <b>S13a</b> 多周波 VLBI による電波銀河 M87 の中心エンジン近傍 10-100 シュバルツシルト半径領域におけるジェット形状探査<br>秦 和弘 (INAF-IRA)                             |
| 11:36           | <b>S04a</b> MAGIC 報告 10: PKS 1510-089 の観測による FSRQ 天体の研究<br>齋藤浩二 (東京大学)  | 15:12           | <b>S14a</b> ガンマ線ブレーザー Mrk 501 の電波コア絶対位置ふらつき探査<br>小山翔子 (東京大学 / 国立天文台)  |
| 11:48           | <b>S05a</b> 低銀緯にある未同定ガンマ線天体の多波長解析<br>浦野剛志 (広島大学)  | 15:24           | <b>S15a</b> Event Horizon Telescope で探るブレーザー NRAO 530 の $\gamma$ 線フレア後の 1.3 mm (230 GHz) におけるサブパーセクスケールの構造<br>秋山和徳 (東京大学) |
| 12:00           | <b>S06a</b> 狭輝線セイファート1型銀河 Mrk 335 におけるスペクトルの変動<br>宮本庸平 (名古屋大学)  | 15:36           | <b>S16b</b> Event Horizon Telescope を用いた 1.3 mm (230 GHz) VLBI によるブレーザー 3C 279 のファースト・モデルイメージ<br>秋山和徳 (東京大学)              |
| 12:12           | <b>S07a</b> 電波強度の強い狭輝線 1 型セイファート銀河 RXJ1633+4718 のすざく、かなた、VLBI による多波長準同時観測<br>高橋宏明 (大阪大学)  | 15:36           | <b>S17b</b> Mrk421 の X 線フレア時における VERA を用いたアストロメトリ観測<br>新沼浩太郎 (山口大学)   |
| 12:24           | <b>S08a</b> 狭輝線セイファート1型銀河のガンマ線放射、キロパーセクスケール電波放射、ブラックホール質量の関連<br>土居明広 (宇宙航空研究開発機構)   | 15:36           | <b>S18b</b> BL Lac 天体 OT 081 における 20 日スケールの電波フレア<br>石田貴史 (山口大学)   |
| 12:36           | <b>S09a</b> X 線天文衛星「すざく」による GeV ガンマ線電波銀河 3C78,PKS0625-354 の観測<br>徳田伸矢 (広島大学)  |                 | <b>S19c</b> GENJI プログラム (II) : VERA を用いた高頻度活動銀河核ジェットモニター観測<br>永井 洋 (国立天文台)  |
| 12:48           | <b>S10b</b> フェルミで検出された FR-I 電波銀河の X 線観測<br>深沢泰司 (広島大学)  |                 | <b>S20c</b> GENJI プログラム : 3C 454.3 の 2010 年 11 月の $\gamma$ 線フレア後の電波帯での多周波ライトカーブ<br>秋山和徳 (東京大学)                            |

|                        |             |  |       |             |  |
|------------------------|-------------|--|-------|-------------|--|
| 15:48                  | <b>S21a</b> | 膨張コクーン力学から探る AGN ジェットのプラズマ組成：陽電子は必要か？<br>川勝 望（筑波大学）                | 09:54 | <b>S32a</b> | 早期型銀河における低光度活動中心核の起源<br>前林隆之（東北大学）   |
| 16:00                  | <b>S22a</b> | Mechanical Feedback by AGN Jets and UFOs<br>Alexander Wagner（筑波大学） | 10:06 | <b>S33a</b> | エディントン比の影響を考慮したクエーサー BLR ガスの Fe/Mg 組成比の赤方偏移進化<br>鮫島寛明（宇宙航空研究開発機構）                |
| 16:12                  | <b>S23b</b> | ラインフォース駆動型円盤風モデルによる BAL クエーサーの起源の解明；星風理論の適用<br>野村真理子（お茶の水女子大学）     | 10:18 | <b>S34a</b> | 活動銀河核トーラスの Fe, Ni アバundance<br>林 数馬（広島大学）  |
| 16:12                  | <b>S24b</b> | 全天 X 線監視装置 MAXI による AGN の長期変動の観測<br>杉本樹梨（理化学研究所/立教大学）              | 10:30 | <b>S35a</b> | MAGNUM プロジェクト：ダストトーラス内径と硬 X 線光度、[OIV] 26 $\mu$ m 輝線光度との相関<br>峰崎岳夫（東京大学）          |
| 16:12                  | <b>S25b</b> | NGC1068 の中心核からの硬い X-線 (2-15keV) の放射機構<br>喜屋武昌一                     | 10:42 | <b>S36a</b> | 「あかり」活動銀河核のダストトーラスの Spectral Energy Distribution の構築とダストトーラスのモデル化<br>大藪進喜（名古屋大学） |
| 16:24                  | <b>S26a</b> | 恒星破壊に伴うブラックホール降着流のスペクトル状態変化モデル<br>松元亮治（千葉大学）                       | 10:54 | <b>S37a</b> | X 線観測による高光度電波銀河のトーラス構造の解明<br>田崎文得（京都大学）  |
| 16:36                  | <b>S27a</b> | 銀河系中心 SgrA* へのガス雲落下とブラックホール検出<br>高橋真聡（愛知教育大学）                      | 11:06 | <b>S38a</b> | X 線時間変動のみから抽出する AGN 反射スペクトル：「すざく」の結果<br>野田博文（東京大学）                               |
| 16:48                  | <b>S28a</b> | 短基線 VLBI による Sagittarius A* の毎日観測：2013 年事象に向けて<br>坪井昌人（宇宙航空研究開発機構） | 11:18 | <b>S39a</b> | 「すざく」による明るいセイファート銀河 NGC 4151 の鉄吸収線の研究<br>表 尚平（東京大学）                              |
| 17:00                  | <b>S29b</b> | Sagittarius A* のミリ波タイムラグの解釈<br>坪井昌人（宇宙航空研究開発機構）                    | 11:30 | <b>S40b</b> | FMOS の近赤外分光データを用いた z=1-2 の Compton-thick AGN の同定<br>藤井慎人（東北大学）                   |
| <b>9月20日(木) 午前・I会場</b> |             |  |       |             |  |
| 09:30                  | <b>S30a</b> | AGN の個数密度の反階層的進化と階層的銀河形成<br>榎 基宏（東京経済大学）                           | 11:30 | <b>S41b</b> | 近赤外線三次元分光による狭輝線放射領域のサイズ測定<br>米原厚憲（京都産業大学）  |
| 09:42                  | <b>S31a</b> | SDSS クエーサーの小スケールにおけるクラスタリング<br>加用一者（東邦大学）                          | 11:30 | <b>S42b</b> | QSOs の光度変動に伴う紫外カラー変動に対する標準円盤 + 質量降着率変化モデルの妥当性<br>小久保 充（東京大学）                     |

## T. 銀河団

## U. 宇宙論

|                        |   |  |  |
|------------------------|---|--|--|
| <b>9月21日(金) 午前・G会場</b> |   | <b>9月19日(水) 午後・C会場</b>   |  |
| 10:42                  | <b>T01a</b> The formation of the Brightest Cluster Galaxy<br>稲垣貴弘 (名古屋大学)                                       | 15:00  | <b>U01a</b> 宇宙論的な 21cm 線放射の将来観測によるニュートリノ質量とその階層構造への制限<br>大山祥彦 (総合研究大学院大学)                    |
| 10:54                  | <b>T02a</b> 銀河団コアを加熱する宇宙線からの電波放射<br>藤田 裕 (大阪大学)   | 15:12  | <b>U02a</b> Neutrino masses from cosmology: impact of high-z observations<br>平野耕一 (都留文科大)    |
| 11:06                  | <b>T03a</b> X線で探る銀河団ガスの運動<br>田村隆幸 (宇宙航空研究開発機構)  | 15:24  | <b>U03a</b> インフレーションによる宇宙磁場生成と重力波<br>藤田智弘 (東京大学 /Kavli IPMU)                                 |
| 11:18                  | <b>T04a</b> Investigation of Interactions Between ICM and Cluster Galaxies III<br>Gu Liyi (University of Tokyo) | 15:36  | <b>U04a</b> CMB バイスペクトルにおける原始磁場パリティの破れ<br>白石希典 (名古屋大学)                                       |
| <b>9月21日(金) 午後・G会場</b> |   | 15:48  | <b>U05a</b> POLARBEAR: 宇宙マイクロ波背景放射 B-mode 偏光観測の現状について<br>松村知岳 (KEK(素核研))                     |
| 13:30                  | <b>T05a</b> シミュレーションによる銀河団静水圧平衡の検証と質量推定の系統誤差<br>須藤大地 (東京大学)   | 16:00  | <b>U06a</b> プランク衛星と超広域前景分子雲観測による宇宙背景放射の研究8: 一酸化炭素分子輝線が CMB パワースペクトルへ与える影響の除去<br>市来浄與 (名古屋大学) |
| 13:42                  | <b>T06a</b> Abell 2199 銀河団の温度、エントロピー分布の方向依存性と鉄の分布<br>佐藤浩介 (東京理科大学)  | 16:12  | <b>U07a</b> 宇宙論パラメータ推定への重力レンズバイスペクトルの影響<br>佐藤正典 (名古屋大学)                                      |
| 13:54                  | <b>T07a</b> すざく衛星を用いたペルセウス銀河団の外縁部の重元素組成比の測定<br>上田周太朗 (大阪大学)   | 16:24  | <b>U08a</b> 宇宙膨張論の検証 XIX 常用の $z_v$ 相関式の非理論性 (2) 光時計と速度合成法則の矛盾<br>阿武靖彦                        |
| 14:06                  | <b>T08a</b> 「すざく」による MS 1512.4+3647 銀河団プラズマの重元素組成の研究 (II)<br>下田優弥 (埼玉大学)  | 16:36  | <b>U09a</b> 素粒子の軌道エネルギーと宇宙の軌道エネルギーの統一理論<br>小堀しづ  |
| 14:18                  | <b>T09a</b> かみのけ座銀河団の力学半径までの重元素分布<br>佐々木 亨 (東京理科大学)   | 16:48  | <b>U10b</b> グレートウォールはどのようにできたか<br>小堀しづ   |
| 14:30                  | <b>T10a</b> 「すざく」衛星による Abell 478 銀河団の外縁部の観測<br>望月ゆきこ (東京理科大学)   | <b>U11c</b> 星の中で元素はできない。星の中でできるのは中性子だけです。元素は星が爆発したときできる。<br>小堀しづ |  |
| 14:42                  | <b>T11a</b> 重力レンズ効果による銀河団探索における形状バイアスの影響<br>浜名 崇 (国立天文台)  |  |  |

| 9月20日(木) 午前・C会場 |  |  |
|-----------------|--|--|
| 09:30           | <b>U12a</b> 有限の質量の粒子に崩壊する暗黒物質がつくる密度ゆらぎについて<br>青山尚平 (名古屋大学)                 |  |
| 09:42           | <b>U13a</b> Reconstruction of BAO Ring<br>日影千秋 (名古屋大学)                     |  |
| 09:54           | <b>U14a</b> パワースペクトルおよび相関関数における赤方偏移ゆがみの高次効果<br>樽家篤史 (東京大学)                 |  |
| 10:06           | <b>U15a</b> 赤方偏移空間歪みを用いた修正重力理論の制限<br>岡田裕行 (京都大学)                           |  |
| 10:18           | <b>U16a</b> 本格開始した FastSound 計画 I. サーベイ概要<br>戸谷友則 (京都大学)                   |  |
| 10:30           | <b>U17a</b> 本格開始した FastSound 計画 II. サーベイの詳細と進行状況<br>舎川元成 (京都大学)            |  |
| 10:42           | <b>U18a</b> N体シミュレーションによるサブハローの赤方偏移歪みの精密測定<br>西道啓博 (東京大学)                  |  |
| 10:54           | <b>U19a</b> 温かい暗黒物質及び崩壊する荷電重粒子における銀河ハロー形成<br>鎌田歩樹 (東京大学)                   |  |
| 11:06           | <b>U20a</b> cosmic shear データ解析におけるマスク領域の影響<br>白崎正人 (東京大学)                  |  |
| 11:18           | <b>U21a</b> 重力マイクロレンズによる原始ブラックホール探索法<br>阿部文雄 (名古屋大学)                       |  |
| 11:30           | <b>U22a</b> ガンマ線バーストは Ia 型超新星のように精度のよい標準光源になりうるか?<br>筒井 亮 (東京大学)           |  |
| 11:42           | <b>U23b</b> Lagrange 的摂動論における 4 次摂動方程式とその解<br>立川崇之 (福井大学)                  |  |
| 11:42           | <b>U24b</b> 元素組成から制限した Power Law Primordial Magnetic Field<br>山崎 大 (国立天文台) |  |
|                 | <b>U25c</b> Quantization Sheaf Topos<br>中山薫二 (龍谷大学)                        |  |

## V. 地上観測機器

| 9月20日(木) 午前・F会場 |  |
|-----------------|--|
| 09:30           | <b>V101a</b> GroundBIRD 実験における大気の揺らぎの影響抑制の研究<br>田島 治 (高エネルギー加速器研究機構)                                   |
| 09:42           | <b>V102a</b> POLARBEAR2 における光学系設計と評価<br>井上優貴 (総合研究大学院大学)   |
| 09:54           | <b>V103a</b> POLARBEAR2 TES ボロメータアレイ読み出しシステムの開発<br>服部香里 (高エネルギー加速器研究機構)                                |
| 10:06           | <b>V104b</b> GroundBIRD 実験におけるテスト観測用レーザーの準備<br>石塚 光 (総合研究大学院大学)  |
| 10:06           | <b>V105b</b> Beam profile measurements for the GroundBIRD experiment<br>Jihoon Choi (Korea University) |
| 10:06           | <b>V106b</b> 野辺山 45m 電波望遠鏡搭載 45GHz 帯受信機光学系および冷却受信機の開発<br>高津 湊 (大阪府立大学)                                 |
| 10:18           | <b>V107b</b> 野辺山 45m 電波望遠鏡に搭載する新マルチビーム受信機「FOREST」開発の進捗 2<br>古家野 誠 (大阪府立大学)                             |
| 10:18           | <b>V108b</b> 野辺山 45 m 電波望遠鏡搭載 45 GHz 帯直交偏波計の開発<br>徳田一起 (大阪府立大学)  |
| 10:18           | <b>V109b</b> 野辺山 45m 電波望遠鏡のリモート観測システムの構築<br>高橋 茂 (国立天文台)   |
| 10:30           | <b>V110b</b> 那須観測所における電波トランジェント発見速報システムの開発状況<br>青木貴弘 (早稲田大学)   |
| 10:30           | <b>V111b</b> FFT プロセッサを用いて観測した活動銀河核の解析<br>杉澤健太郎 (早稲田大学)  |
| 10:30           | <b>V112b</b> 最大エントロピー法 (MEM) による観測データの解析<br>野村尚美 (早稲田大学)   |
|                 | <b>V113c</b> 那須電波天体観測所における突発的人工電波環境の測定<br>小西響介 (早稲田大学)   |
|                 | <b>V114c</b> 早稲田大学那須観測所における周波数保護指定の申請状況<br>貴田寿美子 (早稲田大学)   |
|                 | <b>V115c</b> 山口 32m 電波望遠鏡計画の 10 年と今後<br>藤沢健太 (山口大学)  |
| 10:42           | <b>V116b</b> 高萩 / 日立 32 m 電波望遠鏡の整備状況 (7)<br>米倉覚則 (茨城大学)  |
| 10:42           | <b>V117b</b> 茨城 32 m 電波望遠鏡のアンテナ性能評価<br>齋藤 悠 (茨城大学)   |
| 10:42           | <b>V118b</b> 日韓 VLBI 相関器 (KJJVC) の開発と性能評価<br>小山友明 (国立天文台)  |
| 10:54           | <b>V119b</b> JAXA 臼田 64m 鏡用 8GHz 帯低雑音受信機の開発 II<br>山口健太郎 (東京大学)   |
| 10:54           | <b>V120b</b> JAXA 臼田 10m アンテナの 22GHz 帯天文観測の可能性 II<br>森光智千 (東京大学)                                       |
| 10:54           | <b>V121b</b> ソフトウェア偏波分光計 PolariS の開発<br>亀野誠二 (鹿児島大学)   |
| 11:06           | <b>V122b</b> 1.85m 電波望遠鏡プロジェクトの開発進捗 (IV)<br>西村 淳 (大阪府立大学)  |
| 11:06           | <b>V123b</b> 1.85m 電波望遠鏡搭載 230GHz 帯両偏波 2SB 受信機の開発<br>太田裕也 (大阪府立大学)                                     |
| 11:06           | <b>V124b</b> 広帯域フィードの開発 (III)<br>氏原秀樹 (情報通信研究機構)   |



|                         |  |                         |  |
|-------------------------|--|-------------------------|--|
| 11:18                   | <b>V125b</b> マイクロ波帯広帯域クアドリッジアンテナの開発<br>長谷川 豊 (大阪府立大学)                    | 15:06                   | <b>V137b</b> ALMA コミッショニング : ACA 及び ACA 相関器<br>鎌崎 剛 (国立天文台)          |
|                         | <b>V126c</b> ミリ波望遠鏡の安価な製作法についての考察 5 光学系<br>春日 隆 (法政大学)                   | 15:18                   | <b>V138b</b> ALMA 偏波観測機能の科学評価活動報告 (II)<br>永井 洋 (国立天文台)               |
| <b>9月20日 (木) 午後・F会場</b> |  | 15:18                   | <b>V139b</b> ALMA による太陽観測の準備状況<br>下条圭美 (国立天文台)                       |
| 13:30                   | <b>V127a</b> ALMA の建設 (17) と運用 (1)<br>井口 聖 (国立天文台)                       | 15:18                   | <b>V140b</b> ALMA コミッショニング : ACA アンテナ指向・ベースライン精度<br>中西康一郎 (国立天文台)    |
| 13:42                   | <b>V128a</b> ALMA 観測サイトにおけるキャリブレーション用信号源 その2<br>木内 等 (国立天文台)             | <b>9月21日 (金) 午前・F会場</b> |  |
| 13:54                   | <b>V129a</b> ACA 7m アンテナ性能評価試験 11 : 1-12 号機指向精度<br>齋藤弘雄 (国立天文台)          | 09:30                   | <b>V141a</b> ALMA における ACA との結合イメージング<br>黒野泰隆 (国立天文台)                |
| 14:06                   | <b>V130a</b> ACA12m アンテナ性能評価試験 13 : 最新駆動アルゴリズムによる駆動性能<br>直井隆浩 (国立天文台)    | 09:42                   | <b>V142a</b> Cycle 1 User Support and Status<br>西合一矢 (国立天文台)         |
| 14:18                   | <b>V131a</b> ACA12m アンテナ鏡面の日中の熱変形測定<br>山田真澄 (国立天文台)                      | 09:54                   | <b>V143a</b> ALMA データ解析ソフトウェア CASA の開発 7<br>杉本香菜子 (国立天文台)            |
| 14:30                   | <b>V132a</b> ALMA システム性能評価活動の進捗<br>杉本正宏 (国立天文台)                          | 10:06                   | <b>V144a</b> バーチャル天文台による ALMA データの配信 : 全体進捗報告<br>白崎裕治 (国立天文台)        |
| 14:42                   | <b>V133a</b> ALMA-BAND4 カートリッジの量産<br>高橋敏一 (国立天文台)                        | 10:18                   | <b>V145a</b> バーチャル天文台による ALMA データの配信 : ウェブビューアの開発<br>江口智士 (国立天文台)    |
| 14:54                   | <b>V134a</b> ALMA Band10 受信機開発進捗状況 (XI)<br>藤井泰範 (国立天文台)                  | 10:30                   | <b>V146a</b> バーチャル天文台による ALMA データの配信 : デスクトップビューアの開発<br>川崎 渉 (国立天文台) |
| 15:06                   | <b>V135b</b> ALMA Band10 受信機開発進捗状況 (XII)- 冷却光学系の開発 (IV)-<br>金子慶子 (国立天文台) | 10:42                   | <b>V147a</b> ペルー・ボリビア山岳地域におけるサブミリ波 VLBI 観測適地のサーベイ<br>古澤純一 (慶應義塾大学)   |
| 15:06                   | <b>V136b</b> ALMA Band 10 ミキサー同調回路の詳細設計<br>黒岩宏一 (国立天文台/大阪府立大学)           | 10:54                   | <b>V148a</b> キャラバン・サブ、2012 年秋現況<br>三好 真 (国立天文台)                      |

| 9月21日(金) 午後・F会場   | 9月19日(水) 午前・E会場  |
|---|--|
| 13:30 <b>V149a</b> 野辺山 45m 鏡搭載用の新マルチビーム受信機 FOREST の試験観測<br>村岡和幸 (大阪府立大学)        | 11:00 <b>V201a</b> 大型低温重力波望遠鏡 KAGRA<br>安東正樹 (国立天文台)                                  |
| 13:42 <b>V150a</b> 圧縮センシングを用いた電波干渉計のイメージング<br>本間希樹 (国立天文台)                      | 11:12 <b>V202a</b> 大型低温重力波望遠鏡 KAGRA の補助光学系の開発<br>阿久津智忠 (国立天文台)                       |
| 13:54 <b>V151a</b> 電波分光観測の効率化 III ---<br>NRO45m 鏡での検証とシステム変動の較正<br>亀野誠二 (鹿児島大学) | 11:24 <b>V203a</b> TMT プロジェクト: 計画推進の国際/国内状況<br>家 正則 (国立天文台)                          |
| 14:06 <b>V152a</b> VDIF ソフトウェアライブラリーの開発 (I)<br>鈴木駿策 (国立天文台)                     | 11:36 <b>V204a</b> TMT プロジェクト: 超大型望遠鏡本体の設計・検討<br>白田知史 (国立天文台)                        |
| 14:18 <b>V153a</b> 周波数変調局部発振器による新しいミリ波サブミリ波分光法: I. 受信システムの開発<br>田村陽一 (東京大学)     | 11:48 <b>V205b</b> 京大岡山 3.8m 望遠鏡計画: 分割鏡の開発<br>所 仁志 (名古屋大学)                           |
| 14:30 <b>V154a</b> 太陽系惑星大気監視プロジェクト SPART の進捗 / 金星の一酸化炭素の変動<br>前澤裕之 (大阪府立大学)     | 11:48 <b>V206b</b> 京大岡山 3.8m 望遠鏡計画: CGH 干渉計の性能評価<br>木野 勝 (名古屋大学)                     |
| 14:42 <b>V155a</b> ジャイアントパルスを用いたアンテナ間の時刻比較研究<br>岳藤一宏 (情報通信研究機構)                 | 11:48 <b>V207b</b> 京大岡山 3.8m 望遠鏡計画: 分割鏡ハルトマン試験<br>岩室史英 (京都大学)                        |
|   | 12:00 <b>V208b</b> 京大岡山 3.8m 望遠鏡計画: 分割鏡制御のための Shack-Hartmann 波面センサの開発<br>夏目典明 (京都大学) |
|   | 12:00 <b>V209b</b> 京大岡山 3.8m 望遠鏡計画: 分割鏡支持機構の開発<br>栗田光樹夫 (京都大学)                       |
|   | 12:00 <b>V210b</b> 京大岡山 3.8m 望遠鏡計画: ギャップセンサの開発<br>出口和弘 (京都大学)                        |
|   | 12:12 <b>V211b</b> 京大岡山 3.8m 望遠鏡計画: 副鏡計測技術の開発<br>出口和弘 (京都大学)                         |
|   | 12:12 <b>V212b</b> かなた望遠鏡自動観測システム構築<br>伊藤亮介 (広島大学)                                   |

|                        |  |       |   |
|------------------------|--|-------|---|
| 12:12                  | <b>V213b</b> IRSF 用可視光・近赤外線同時分光器の設計と進捗状況<br>永山貴宏 (名古屋大学)               | 15:48 | <b>V224a</b> セグメント型望遠鏡のためのサバール板シャリング・ナル干渉計の開発<br>木田学武 (北海道大学)   |
| 12:24                  | <b>V214a</b> TAO 6.5-m 望遠鏡用観測装置 MIMIZUKU, SWIMS の開発進捗報告<br>上塚貴史 (東京大学) | 16:00 | <b>V225a</b> 2チャンネル型光渦コロナグラフを利用した偏光差分法の提案<br>濱口翔喜 (北海道大学)   |
| 12:36                  | <b>V215a</b> -80 度で運用可能な完全自立シーイング測定装置の開発<br>沖田博文 (東北大学)                | 16:12 | <b>V226b</b> すばる望遠鏡搭載に向けた 8 分割位相マスクコロナグラフの開発<br>村上尚史 (北海道大学)  |
| 12:48                  | <b>V216a</b> すばる望遠鏡エンクロージャー周辺の気流<br>林 左絵子 (国立天文台)                      | 16:12 | <b>V227b</b> 赤外ドップラー分光器の光ファイバリンクと光周波数コム較正光源 (3)<br>西川 淳 (国立天文台)                                       |
| <b>9月19日(水) 午後・E会場</b> |  | 16:12 | <b>V228b</b> 愛媛大学 HSC フィルタープロジェクト: NB718 の光学特性<br>市川あき江 (愛媛大学)  |
| 15:00                  | <b>V217a</b> 京都三次元分光器第 2 号器とすばる望遠鏡 188 素子補償光学系の接続一試験観測一<br>松林和也 (愛媛大学) | 16:24 | <b>V229a</b> 岡山 188cm 鏡と高分散分光器 HIDES の光ファイバリンク化計画 IV 高波長分解能モードの製作とそのエンジニアリング・ファーストライト<br>神戸栄治 (国立天文台) |
| 15:12                  | <b>V218a</b> すばる次世代広視野補償光学および赤外線新装置: 初期検討報告<br>早野 裕 (国立天文台)            | 16:36 | <b>V230a</b> 近赤外高分散分光器「WINERED」: 京産大 1.3m 望遠鏡におけるエンジニアリング・ファーストライトと光学性能評価<br>福江 慧(東京大学/京都産業大学)        |
| 15:24                  | <b>V219b</b> すばる次世代広視野補償光学: 地表層補償光学系シミュレーション I<br>大屋 真 (国立天文台)         | 16:48 | <b>V231b</b> 近赤外線高分散分光器「WINERED」: 1.7 $\mu$ m-cut-off HAWAII2-RG 検出器の評価<br>川西崇史 (京都産業大学)              |
| 15:24                  | <b>V220b</b> すばる次世代広視野補償光学: 広視野近赤外線装置光学系検討<br>岩田 生 (国立天文台)             | 16:48 | <b>V232b</b> 可視光ファブリ・ペロー分光撮像装置の開発: 性能評価<br>橋場康人 (東京大学)  |
| 15:24                  | <b>V221b</b> 京都産業大学 1.3m 望遠鏡用補償光学装置の開発<br>藤代尚文 (京都産業大学)                | 16:48 | <b>V233b</b> 可視撮像分光装置 NaCS の開発の進捗状況<br>中尾 光 (北海道大学)   |
| 15:36                  | <b>V222a</b> 直接撮像による系外惑星探査における二種類の解析方法の比較<br>小西美穂子 (大阪大学)              |       | <b>V234c</b> 木曾観測所広視野カメラ (KWFC) 開発の現況 (IV)<br>青木 勉 (東京大学)   |
|                        | <b>V223c</b> 異なる複数枚の shift-and-add 像からの回折限界像再生<br>桑村 進 (北見工業大学)        |       |   |

|                                    |   |  |
|------------------------------------|---|--|
|                                    | <p><b>V235c</b> 汎用 2 次元検出器データ取得システム MESSIA5 の 10 年<br/>中屋秀彦 (国立天文台)</p> <p><b>V236c</b> カメラレンズと CCD カメラを用いた自動広角サーベイシステムの構築と運用<br/>前原裕之 (京都大学)</p> | <p>11:06 <b>V245a</b> 新型太陽中性子望遠鏡の開発<br/>永井雄也 (名古屋大学)</p> <p>11:18 <b>V246a</b> 太陽観測用シーイングモニターの開発<br/>仲谷善一 (京都大学)</p> <p>11:30 <b>V247a</b> 太陽 SCIDAR 技術によるゆらぎ層の高さの測定<br/>三浦則明 (北見工業大学)</p> <p>11:42 <b>V248b</b> 太陽補償光学系 KIT-AO の開発 : 装置開発状況 (5)<br/>三浦則明 (北見工業大学)</p> |
| <p><b>9 月 20 日 (木) 午前・E 会場</b></p> |   |  |
| 09:30                              | <p><b>V237a</b> 近中間赤外線用イメージン回折格子の開発 VII - CdZnTe グレーティングの製作と金属反射膜<br/>猿楽祐樹 (宇宙航空研究開発機構)</p>   |  |
| 09:42                              | <p><b>V238a</b> FOCAS 用イメージスライサー型面分光ユニットの開発<br/>尾崎忍夫 (国立天文台)</p>  |  |
| 09:54                              | <p><b>V239a</b> MAGIC 報告 11: MAGIC 望遠鏡アップグレード用カメラのコミッショニング<br/>中嶋大輔<br/>(Max-Planck-Institut für Physik)</p>                                      |  |
| 10:06                              | <p><b>V240a</b> MAGIC 報告 12: MAGIC 望遠鏡アップグレード用読み出し及びカメラコントロールシステム<br/>遠山 健<br/>(Max-Planck-Institut für Physik)</p>                               |  |
| 10:18                              | <p><b>V241a</b> Cherenkov Telescope Array (CTA) 計画 : 全体報告<br/>窪 秀利 (京都大学)</p>   |  |
| 10:30                              | <p><b>V242a</b> CTA 大口径望遠鏡の分割鏡の開発 (3)<br/>加賀谷美佳 (茨城大学)</p>  |  |
| 10:42                              | <p><b>V243a</b> CTA 大口径望遠鏡読み出し回路の開発 (3)<br/>栗根悠介 (京都大学)</p>   |  |
| 10:54                              | <p><b>V244a</b> CTA 計画に向けた Schwarzschild-Couder 光学系と大気チェレンコフ光撮像カメラの開発<br/>奥村 暁 (名古屋大学)</p>  |  |

## W. 飛翔体観測機器

| 9月19日(水) 午前・G会場 |  | 9月19日(水) 午後・G会場        |   |
|-----------------|--|------------------------|---|
| 11:00           | <b>W01a</b> ASTRO-H 搭載精密軟X線分光装置SXSの開発の現状(VIII)<br>石崎欣尚(首都大学東京)             | 12:24                  | <b>W12a</b> ピエゾ・アクチュエータを用いたASTRO-H 搭載 硬X線望遠鏡(HXT)の光学調整<br>黒田祐司(名古屋大学)     |
| 11:12           | <b>W02a</b> ASTRO-H 搭載 精密軟X線分光装置SXSの波形処理機器PSPの開発の現状(V)<br>瀬田裕美(立教大学)       | 12:36                  | <b>W13a</b> ASTRO-H 搭載硬X線望遠鏡(HXT)用光線追跡シミュレータの現状と改良<br>島崎郁弥(名古屋大学)         |
| 11:24           | <b>W03a</b> ASTRO-H 搭載X線 CCDカメラ(SXI)の開発の現状<br>田中孝明(京都大学)                   | 12:48                  | <b>W14a</b> ASTRO-H 衛星の科学解析用時刻づけソフトウェアの開発<br>寺田幸功(埼玉大学)                   |
| 11:36           | <b>W04b</b> ASTRO-H 搭載X線 CCDカメラ(SXI)用 CCD 素子のスクリーニングシステムの構築2<br>菅 裕哲(大阪大学) | <b>9月19日(水) 午後・G会場</b> |   |
| 11:36           | <b>W05b</b> ASTRO-H 搭載X線 CCDカメラ(SXI)の軟X線に対する検出効率の測定<br>池田翔馬(工学院大学)         | 15:00                  | <b>W15a</b> ASTRO-H 衛星搭載硬X線撮像検出器(HXI)の現状～FM設計～<br>中澤知洋(東京大学)              |
| 11:36           | <b>W06b</b> ASTRO-H 搭載 SXI 用アナログエレクトロニクスの開発<br>薙野 綾(大阪大学)                  | 15:12                  | <b>W16a</b> ASTRO-H 衛星搭載HXI主検出器部の性能評価と応答関数の構築<br>萩野浩一(東京大学/宇宙航空研究開発機構)    |
| 11:48           | <b>W07b</b> ASTRO-H 搭載軟X線撮像検出器(SXI):FPC熱サイクル試験<br>河島久実子(京都大学)              | 15:24                  | <b>W17a</b> ASTRO-H 衛星搭載軟ガンマ線検出器(SGD)の開発現状<br>渡辺 伸(宇宙航空研究開発機構)            |
| 11:48           | <b>W08b</b> JAXA 宇宙科学研究所 30m X線ビームライン改造計画<br>前田良知(宇宙航空研究開発機構)              | 15:36                  | <b>W18a</b> ASTRO-H 衛星搭載軟ガンマ線検出器用ファインコリメータのエンジニアリングモデルの性能評価<br>田邊利明(広島大学) |
| 11:48           | <b>W09b</b> X線望遠鏡用ガラスマンドレルの研磨システムの開発I<br>栗木久光(愛媛大学)                        | 15:48                  | <b>W19a</b> ASTRO-H 衛星に搭載するアクティブシールド用BGO試験の現状<br>西田瑛量(東京大学)               |
| 12:00           | <b>W10a</b> ASTRO-H 搭載 硬X線望遠鏡(HXT)の開発の現状V<br>栗木久光(愛媛大学)                    | 16:00                  | <b>W20b</b> ASTRO-H 搭載ガンマ線検出器用フライトSi-Padセンサーの性能評価<br>中村 竜(広島大学)           |
| 12:12           | <b>W11a</b> ASTRO-H 搭載 硬X線望遠鏡(HXT)性能評価<br>出本忠嗣(名古屋大学)                      | 16:00                  | <b>W21b</b> すざく搭載X線 CCDカメラXISのコンタミネーションモデルの改良<br>高橋宏明(大阪大学)               |

|                             |  |       |  |
|-----------------------------|--|-------|--|
| 16:00                       | <b>W22b</b> 衛星搭載用 X 線発生装置の開発の基礎実験 IV<br>小松飛斗 (立教大学)                    | 10:06 | <b>W34b</b> DIOS 衛星搭載用 4 回反射 X 線望遠鏡 FXT の開発<br>杉田聡司 (名古屋大学)                  |
| 16:12                       | <b>W23a</b> X線望遠鏡の地上較正試験におけるX線ビームの拡散の影響について<br>市原 昂 (宇宙航空研究開発機構)       | 10:06 | <b>W35b</b> 断熱消磁冷凍機を用いた X 線マイクロカロリメータ動作環境の構築 (2)<br>國久哲平 (金沢大学)              |
| 16:24                       | <b>W24a</b> Solar-C 搭載 X 線望遠鏡の検討状況 (Ⅲ)<br>坂尾太郎 (宇宙航空研究開発機構)            | 10:18 | <b>W36a</b> SSC データを用いたカタログの作成<br>花山喬則 (宮崎大学)                                |
| 16:36                       | <b>W25a</b> 将来木星探査衛星を目指す X 線撮像分光装置 JUXTA の検討<br>江副祐一郎 (首都大学東京)         | 10:30 | <b>W37a</b> CALET ガンマ線バーストモニター (CGBM) 開発の現状報告2<br>山本龍実 (青山学院大学)              |
| 16:48                       | <b>W26b</b> 巨大バイナリブラックホール探査超小型衛星 ORBIS の基礎設計<br>磯部直樹 (宇宙航空研究開発機構)      | 10:42 | <b>W38a</b> 硬 X 線広天域走査観測で宇宙進化を探る FFAST 衛星の開発の現状<br>穴吹直久 (大阪大学)               |
| 16:48                       | <b>W27b</b> 小型衛星 PolariS 搭載用 X 線散乱イメージング偏光計の開発<br>定本真明 (大阪大学)          | 10:54 | <b>W39a</b> X線偏光観測衛星 GEMS に搭載するガス検出器の宇宙環境でのバックグラウンドの見積り<br>北口貴雄 (理化学研究所)     |
| 16:48                       | <b>W28b</b> レーザープラズマ光源を使った Xmas 望遠鏡の撮像実験 V<br>村上弘志 (立教大学)              | 11:06 | <b>W40a</b> 宇宙 X 線偏光計に使用するジメチルエーテルと不純物ガスの電子吸着率の測定<br>武内陽子 (理化学研究所 / 東京理科大学)  |
| 17:00                       | <b>W29b</b> SpaceWire を用いた CCD 駆動実験<br>梅津里香 (立教大学)                     | 11:18 | <b>W41a</b> 超小型衛星 TSUBAME 搭載用ガンマ線バースト位置決定検出器「広視野バーストモニタ」の開発<br>川上孝介 (東京工業大学) |
| <b>9 月 20 日 (木) 午前・G 会場</b> |  |       |  |
| 09:30                       | <b>W30a</b> ダークバリオン探査ミッション DIOS の開発状況<br>田原 讓 (名古屋大学)                  |       |  |
| 09:42                       | <b>W31a</b> X 線科学衛星 DIOS 搭載に向けた低発熱型多入力 SQUID の開発<br>酒井和広 (宇宙航空研究開発機構)  |       |  |
| 09:54                       | <b>W32a</b> TES 型 X 線マイクロカロリメータの AM 変調による信号多重化の実証<br>山本 亮 (宇宙航空研究開発機構) |       |  |
| 10:06                       | <b>W33b</b> DIOS 衛星搭載を目指した TES 型 X 線マイクロカロリメータの性能評価<br>榎島陽介 (首都大学東京)   |       |  |

| 9月20日(木) 午後・G会場 |  |
|-----------------|--|
| 13:30           | <b>W42a</b> Nano-JASMINE と小型 JASMINE の全体的状況<br>郷田直輝 (国立天文台)                                  |
| 13:42           | <b>W43b</b> 小型 JASMINE の検討状況<br>矢野太平 (国立天文台)   |
| 13:42           | <b>W44b</b> 小型 JASMINE 実現のためのクリティカルな検討課題の技術実証 III<br>丹羽佳人 (国立天文台)                            |
| 13:42           | <b>W45b</b> 小型 JASMINE の迷光解析と内面処理<br>鹿島伸悟 (国立天文台)  |
|                 | <b>W46c</b> JASMINE で遂行中の国際連携<br>辻本拓司 (国立天文台)  |
| 13:54           | <b>W47a</b> Nano-JASMINE データ解析の準備状況<br>山田良透 (京都大学)   |
| 14:06           | <b>W48b</b> 超小型赤外線位置天文衛星 Nano-JASMINE で用いる星像位置中心決定方の精度評価<br>原 拓自 (東京大学)                      |
| 14:06           | <b>W49b</b> 撮像中の姿勢変動による像のずれの影響<br>藤田 翔 (京都大学)  |
|                 | <b>W50c</b> Nano-JASMINE 衛星の開発：完全空乏型 CCD のピクセル応答関数<br>小林行泰 (国立天文台)                           |
|                 | <b>W51c</b> DARTS/AKARI データアーカイブ開発<br>吉野 彰 (宇宙航空研究開発機構)                                      |
| 14:06           | <b>W52b</b> 「あかり」IRC スロースキャン観測のデータ処理パイプラインの開発と性能評価<br>瀧田 怜 (宇宙航空研究開発機構)                      |
|                 | <b>W53c</b> SPICA 搭載中間赤外線分光撮像装置の進捗報告(2012 秋)<br>片坐宏一 (宇宙航空研究開発機構)                            |
| 14:18           | <b>W54a</b> SPICA 搭載中間赤外線分光撮像装置検出器系の開發現状<br>和田武彦 (宇宙航空研究開発機構)                                |
| 14:30           | <b>W55a</b> SPICA コロナグラフ<br>塩谷圭吾 (宇宙航空研究開発機構)  |
| 14:42           | <b>W56b</b> SPICA 望遠鏡搭載に向けた自立型瞳マスクコロナグラフの開発<br>樋香奈恵 (宇宙航空研究開発機構)                             |
| 14:42           | <b>W57b</b> FITS I/O ライブラリ “SFITSIO-1.2.0” の開発・公開<br>山内千里 (国立天文台 / 宇宙航空研究開発機構)               |
| 14:42           | <b>W58b</b> レベル 1 時系列データフォーマット変換ツール (FITS) の開発<br>松崎恵一 (宇宙航空研究開発機構)                          |
| 14:54           | <b>W59a</b> 高コントラスト観測のための 3 次元波面測定装置の提案<br>松尾太郎 (京都大学)                                       |
| 15:06           | <b>W60a</b> 極周回成層圏望遠鏡による惑星大気観測<br>田口 真 (立教大学)  |
| 15:18           | <b>W61b</b> 表面活性化常温ウェハ接合技術を用いた Ge p <sup>+</sup> -i 接合素子の遠赤外線波長感度特性の評価 (II)<br>服部和生 (名古屋大学)  |
| 15:18           | <b>W62b</b> SOLAR-C : 高頻度動作が可能な高信頼性回転駆動機構の国内開発 (VI) グリース潤滑剤アウトガス評価 (IV)<br>渡邊恭子 (宇宙航空研究開発機構) |
| 15:18           | <b>W63b</b> 太陽彩層 Ly $\alpha$ 線偏光分光観測装置 CLASP における可視光迷光対策<br>宮川健太 (東京大学 / 国立天文台)              |

## X. 銀河形成

| 9月21日(金) 午前・G会場   | 9月20日(木) 午後・C会場  |
|---|--|
| 09:30 <b>W64a</b> 最先端観測ミッションを実現する高精度フォーメーションフライト技術<br>河野 功 (宇宙航空研究開発機構)         | 13:30 <b>X01a</b> 星生成銀河の星質量-星生成率-金属量関係とその進化<br>新納 悠 (国立天文台)  |
| 09:42 <b>W65a</b> 宇宙赤外線背景放射の観測のためのロケット実験 CIBER-2: 開発の現状<br>白旗麻衣 (宇宙航空研究開発機構)    | 13:42 <b>X02a</b> CFHT/MegaCamによる北黄極領域サーベイ<br>大井 渚 (宇宙航空研究開発機構)  |
| 09:54 <b>W66a</b> CIBER ロケット実験 -第3回目観測の報告と観測データの評価-<br>新井俊明 (東京大学 / 宇宙航空研究開発機構) | 13:54 <b>X03a</b> 「あかり」北黄極領域ディープサーベイのカタログ再構築 2<br>村田一心 (総合研究大学院大学 / 宇宙科学研究所)   |
| 10:06 <b>W67a</b> CMB 偏光観測衛星 LiteBIRD における系統誤差の研究<br>永田 竜 (高エネルギー加速器研究機構)       | 14:06 <b>X04a</b> 北黄極多波長ディープサーベイ領域で見つかった Dust Obscured Galaxies の星形成<br>松原英雄 (宇宙航空研究開発機構)  |
| 10:18 <b>W68a</b> 超広視野初期宇宙探査衛星 WISH 計画: 望遠鏡構造<br>山田 亨 (東北大学)                    | 14:18 <b>X05b</b> ALMA Observation of the IR-bright Merger VV114<br>齊藤俊貴 (東京大学)  |
| 10:30 <b>W69b</b> 超広視野初期宇宙探査衛星 WISH 計画: 望遠鏡構造<br>山田 亨 (東北大学)                    | 14:18 <b>X06b</b> 狭帯域フィルターを用いた [OII] 輝線天体探査における連続光評価問題<br>塩谷泰広 (愛媛大学)  |
| 10:30 <b>W70b</b> 超広視野初期宇宙探査衛星 WISH 計画: フィルタ交換機構<br>馬渡 健 (東北大学)                 | 14:18 <b>X07b</b> 2つの狭帯域フィルター撮像探査で探る [OII] 輝線銀河の性質<br>林 将央 (国立天文台)   |
| 10:30 <b>W71c</b> WISH: フィルターセットおよびスリットレス分光の検討<br>矢部清人 (国立天文台)                  | 14:30 <b>X08b</b> 静止系可視スペクトルで明らかとなった LAEs の高電離・低重元素量<br>中島王彦 (東京大学)  |
| 10:30 <b>W72b</b> 低周回衛星によるサブミリ波スペース VLBI の成立性検討<br>朝木義晴 (宇宙航空研究開発機構)            | 14:30 <b>X09b</b> Gas Motion Statistics of Ly $\alpha$ Emitters at $z \sim 2$ Using UV and Optical Emission Lines<br>橋本拓也 (東京大学) |
|   | 14:30 <b>X10b</b> $z \sim 2.5$ 原始銀河団における、AzTEC /ASTE ソースと DRG の位置対応<br>田中 壱 (国立天文台)  |
|   | 14:42 <b>X11b</b> An ultra bright SMG behind a nearby cluster<br>梅畑豪紀 (東京大学)   |
|   | 14:42 <b>X12b</b> The stellar mass function and the host galaxies properties at $z = 0$<br>清水一紘 (大阪産業大学)                         |



|                        |             |   |                        |             |   |
|------------------------|-------------|---|------------------------|-------------|---|
| 14:42                  | <b>X13b</b> | Predictions from the Mitaka Model and GALFORM to the Nature of High- $z$ Lyman- $\alpha$ Emitters<br>小林正和 (国立天文台)   | 10:42                  | <b>X24a</b> | Simulation of giant molecular cloud formation in the barred galaxy M83<br>藤本裕輔 (北海道大学)                    |
| 14:54                  | <b>X14a</b> | The Nature of Red Star Forming Galaxies in $z=0.4$ Groups: Panoramic Mid-infrared Mapping and the First Integral Field Spectroscopy<br>小山佑世 (Durham University) | 10:54                  | <b>X25a</b> | 銀河のダストサイズ分布進化: 星間空間でのダストプロセスの重要性<br>浅野良輔 (名古屋大学)  |
| 15:06                  | <b>X15a</b> | Subaru/FMOS survey of star formation galaxies at $z \sim 1.5$ in COSMOS<br>柏野大地 (名古屋大学)   | 11:06                  | <b>X26a</b> | ダストと銀河進化<br>山澤大輔 (北海道大学)  |
| 15:18                  | <b>X16a</b> | Deep Near-IR Spectroscopy of a Forming Cluster at $z=2.16$<br>田中賢幸 (カブリ数物連携宇宙研究機構)  | 11:18                  | <b>X27a</b> | 初代星超新星爆発による化学進化と、金属欠乏星<br>小宮 悠 (国立天文台)  |
| <b>9月21日(金) 午前・C会場</b> |             |   | <b>9月21日(金) 午後・C会場</b> |             |   |
| 09:30                  | <b>X17a</b> | Bar-like/Oval Shape of sBzK galaxies at $z \sim 2$ in Rest-frame UV and Optical Wavelengths<br>Yuma, Suraphong (東京大学)   | 13:30                  | <b>X28a</b> | 銀河間中性水素吸収の確率分布と遠方銀河の電離光子探査 II<br>井上昭雄 (大阪産業大学)  |
| 09:42                  | <b>X18a</b> | 丸い円盤銀河はいつできたか?<br>竹内智恵 (京都大学)   | 13:42                  | <b>X29a</b> | 巨大ブラックホール多体系におけるブラックホールの進化と銀河の構造<br>谷川 衝 (筑波大学)   |
| 09:54                  | <b>X19a</b> | 大質量星形成銀河における赤いクランプ<br>但木謙一 (東京大学)   | 13:54                  | <b>X30a</b> | 円盤銀河はかつてクランプクラスターだったことを覚えているか?<br>井上茂樹 (国立天文台)  |
| 10:06                  | <b>X20a</b> | $z=3$ Ly $\alpha$ 輝線天体周囲の Ly $\alpha$ ハロー<br>松田有一 (国立天文台)   | 14:06                  | <b>X31a</b> | Dry minor merger による早期型銀河のサイズ進化の軌道パラメータ依存性<br>大木 平 (北海道大学)  |
| 10:18                  | <b>X21a</b> | ALMA reveals a chemically evolved submillimeter galaxy at $z=4.76$<br>長尾 透 (京都大学)   | 14:18                  | <b>X32a</b> | 星フィードバックに対する銀河ガスの振る舞いの解析: 銀河形状・星形成率への依存性<br>扇谷 豪 (筑波大学)   |
| 10:30                  | <b>X22a</b> | 赤方偏移6に在る大質量ライマンブレイク銀河の祖先候補<br>太田一陽 (京都大学)   | 14:30                  | <b>X33a</b> | 宇宙論的銀河形成モデルへの新たな星形成則の導入<br>真喜屋龍 (京都大学)  |
|                        | <b>X23c</b> | SXDF 内の $z = 5.7$ の形成途中の原始銀河団<br>篠木新吾 (東京大学)  | 14:42                  | <b>X34a</b> | Modeling color-dependent galaxy clustering: an extension of the abundance matching method<br>正木彰伍 (名古屋大学) |

## Y. 天文教育・その他

| 9月20日(木) 午後・E会場 |   |
|-----------------|---|
| 13:30           | <b>Y01b</b> MPPCを用いたアクティブシールド開発に向けた実験<br>中川崇之(広島大学)                         |
| 13:30           | <b>Y02b</b> CTAで探るAGN低光度電波シェルからの超高エネルギーガンマ線放射<br>紀基樹(国立天文台)                 |
| 13:30           | <b>Y03b</b> 大学院生出張授業プロジェクト(BAP)の活動報告2012<br>篠木新吾(東京大学)                      |
| 13:42           | <b>Y04a</b> 「星の虹から宇宙をさぐる」プラネタリウム番組の共同制作<br>中道晶香(京都産業大学)                     |
| 13:54           | <b>Y05b</b> 天文分野を対象とした自主学習型解析体験教材の開発I<br>伊藤信成(三重大学)                         |
| 13:54           | <b>Y06b</b> 慶応義塾大学インターネット望遠鏡を利用した天文教育<br>上田晴彦(秋田大学)                         |
| 13:54           | <b>Y07b</b> 科学広報におけるトレーディングカードゲームの活用<br>矢部あずさ(筑波大学)                         |
|                 | <b>Y08c</b> 太陽活動データベース画像を利用した地球軌道離心率教材の開発と実践<br>山村秀人<br>(滋賀県立長浜北星高等学校)      |
| 14:06           | <b>Y09a</b> 2012年金環日食を迎え撃つ; 2012年金環日食日本委員会の活動報告<br>大西浩次<br>(2012年金環日食日本委員会) |
| 14:18           | <b>Y10a</b> 相模原市の金環日食: 地域連携型観望会の結果報告<br>高木俊暢(宇宙航空研究開発機構)                    |
| 14:30           | <b>Y11a</b> 京都府教育委員会との連携事業: 金環日食出前授業<br>野上大作(京都大学)                          |
| 14:42           | <b>Y12b</b> 京都大学における金環日食観測会の実施と効果についての考察<br>本田敏志(京都大学)                      |
| 14:42           | <b>Y13b</b> Astro-HSによる金環(部分)日食と金星の太陽面通過に対する取り組み<br>塚田健(平塚市博物館)             |
| 14:42           | <b>Y14b</b> 全国調査からわかった学校における金環日食に対する取り組みの状況<br>飯塚礼子(日食情報センター)               |
| 14:54           | <b>Y15b</b> 新聞報道は2012年の金環日食をどう伝えたか<br>小野智子(国立天文台)                           |
| 14:54           | <b>Y16b</b> 大阪府立大学1.85mミリ波望遠鏡で見た金環日食<br>大西利和(大阪府立大学)                        |
| 14:54           | <b>Y17b</b> センチ波(8.4 GHz)で見た金環日食<br>米倉覚則(茨城大学)                              |
| 15:06           | <b>Y18b</b> 岩手大学「学校气象台」で記録された5月21日の日食時における盛岡市の気象変化<br>荒木田英禎(岩手大学)           |
| 15:06           | <b>Y19b</b> 大阪教育大学金環日食プロジェクト1: 金環日食ビデオ教材<br>野口亮(大阪教育大学)                     |
| 15:06           | <b>Y20b</b> 大阪教育大学金環日食プロジェクト3: 光度変化と周縁減光<br>小倉和幸(大阪教育大学)                    |
| 15:18           | <b>Y21a</b> 大阪教育大学金環日食プロジェクト2: スペクトルの変化<br>小倉和幸(大阪教育大学)                     |

| 9月21日(金) 午前・E会場 |  | 9月21日(金) 午後・E会場 |   |
|-----------------|--|-----------------|---|
| 09:30           | <b>Y22a</b> 2012年日食へ向けた太陽観察方法周知の取り組みとその結果<br>矢動丸泰(紀美野町みさと天文台)          | 13:30           | <b>Y31a</b> JAXA 相模原キャンパスにおける地域連携の4年間<br>阪本成一(宇宙航空研究開発機構)   |
| 09:42           | <b>Y23a</b> 2012年金環日食日本委員会の広報物はどのように使用されたか<br>大川拓也<br>(2012年金環日食日本委員会) | 13:42           | <b>Y32a</b> アルマ望遠鏡ウェブサイトへのアクセスとTwitterの広報効果<br>平松正顕(国立天文台)  |
| 09:54           | <b>Y24a</b> 日食観察グラスの安全性について<br>齋藤 泉<br>(栃木県子ども総合科学館天文課)                | 13:54           | <b>Y33a</b> 天文基礎知識の男女差<br>藤下光身(東海大学)                        |
| 10:06           | <b>Y25a</b> 5月21日金環日食による眼障害の発生状況<br>大鹿哲郎(日本眼科学会)                       |                 | <b>Y34c</b> 大学生の認知率はどのくらいか?—白色矮星は4割、準惑星は5割<br>加藤万里子(慶応義塾大学) |
| 10:18           | <b>Y26a</b> 金環日食観察への対応は適切であったか?—リスク・コミュニケーション面からの一検証—<br>縣 秀彦(国立天文台)   | 14:06           | <b>Y35a</b> 鹿嶋市における幼児の天文学習活動の実施<br>布施哲治(情報通信研究機構)           |
| 10:30           | <b>Y27a</b> 金環日食のベイリービーズ観測による太陽半径の決定<br>相馬 充(国立天文台)                    |                 |   |
| 10:42           | <b>Y28a</b> 金環日食限界線共同観測プロジェクトの結果について<br>井上 毅(明石市立天文科学館)                |                 |   |
| 10:54           | <b>Y29a</b> 小望遠鏡による金環日食限界線の観測<br>黒河宏企(京都大学)                            |                 |   |
| 11:06           | <b>Y30a</b> 約3万人が参加「群馬県一斉日食観測ネットワーク」<br>大林 均(群馬県立ぐんま天文台)               |                 |   |

2012年8月20日発行

年会実行委員会

|     |        |              |
|-----|--------|--------------|
| 委員長 | 幸村孝由   | (工学院大学)      |
| 委員  | 久保雅仁   | (国立天文台)      |
|     | 小久保英一郎 | (国立天文台)      |
|     | 左近樹    | (東京大学)       |
|     | 鈴木知治   | (東京大学)       |
|     | 田中邦彦   | (慶應義塾大学)     |
|     | 土居明広   | (宇宙航空研究開発機構) |
|     | 峰崎岳夫   | (東京大学)       |
|     | 宮田隆志   | (東京大学)       |
|     | 米倉覚則   | (茨城大学) 保育室担当 |

年会開催地理事

仲野誠 (大分大学)